

MINISTERSTVO ŽIVOTNÉHO PROSTREDIA SLOVENSKEJ REPUBLIKY
Sekcia geológie a prírodných zdrojov

ŠTÁTNY GEOLOGICKÝ ÚSTAV DIONÝZA ŠTÚRA
Bratislava



Monitoring objemovej aktivity radónu v geologickom prostredí na území Slovenskej republiky

Správa za rok 2015

Názov geologickej úlohy: **ČMS Geologické faktory**
Podsystem 05: Monitoring objemovej aktivity radónu
v geologickom prostredí na území Slovenskej republiky

Číslo geologickej úlohy: **207**

Zodpovedný riešiteľ geologickej úlohy: **RNDr. Pavel Liščák, CSc.**

Dátum vyhotovenia správy: **september 2016**

Autori správy: **RNDr. Augustín Gluch**
RNDr. Igor Zeman

Bratislava, 2016

Zoznam obrázkov:

- Obr. č. 1** - Situačná schéma objektov monitorovaných v roku 2015
- Obr. č. 2** - Pôdny radón: monitorovanie objemovej aktivity radónu (OAR) v rokoch 2002 – 2015; Lokalita: Novoveská Huta
- Obr. č. 3** - Pôdny radón: monitorovanie objemovej aktivity radónu (OAR) v rokoch 2002 – 2015; Lokalita: Teplička
- Obr. č. 4** - Pôdny radón: monitorovanie objemovej aktivity radónu (OAR) v rokoch 2002 – 2015; Lokality: Hnilec, Bratislava – Vajnory, Banská Bystrica – Podlavice
- Obr. č. 5** - Pôdny radón nad zlomom: monitorovanie objemovej aktivity radónu (OAR) v roku 2015; Lokalita: Dobrá Voda, plochy P-1 a P-2
- Obr. č. 6** - Radón vo vodách: monitorovanie objemovej aktivity radónu (OAR) v rokoch 2002 – 2015; Lokalita: Spišské Podhradie, prameň sv. Ondreja
- Obr. č. 7** - Radón vo vodách: monitorovanie objemovej aktivity radónu (OAR) v rokoch 2002 – 2015; Lokalita: Bacúch, prameň Boženy Němcovej
- Obr. č. 8** - Radón vo vodách: monitorovanie objemovej aktivity radónu (OAR) v rokoch 2002 – 2015; Lokality: Malé Karpaty - pramene Mária, Himligárka, Zbojníčka; Oravice – pramenisko Jašterčie

Zoznam tabuliek:

- Tab. č. 1** - Stanovenie kategórie radónového rizika referenčnej plochy
- Tab. č. 2** - Stanovenie plynopriepustnosti pôd
- Tab. č. 3** - Štatistické spracovanie meraní objemovej aktivity radónu v pôdnom vzduchu na referenčných plochách
- Tab. č. 4** - Objemová aktivita radónu v podzemných vodách
- Tab. č. 5** - Štatistické spracovanie meraní objemovej aktivity radónu v podzemných vodách za obdobie 2002 – 2015
- Tab. č. 6** - Vývoj hodnôt objemovej aktivity radónu (OAR) v pôdnom vzduchu a v podzemných vodách za obdobie 2002 – 2015

OBSAH

Zoznam obrázkov a tabuliek

Obsah

1.	Úvod	1
2.	Metodika prác	2
3.	Prehľad a výsledky urobených prác	5
3.1	Pôdny radón na referenčných plochách	6
3.2	Pôdny radón na tektonike	9
3.3	Radón vo vodách	10
4.	Záver a odporúčania	12
5.	Literatúra	18

1. ÚVOD

Celá ľudská populácia je dlhodobo vystavená účinkom rôznych druhov žiarení, ale problematika prírodnej aj umelej (vyvolanej) rádioaktivity bola desaťročia prakticky „tabu“. Urán bol strategickou surovinou pre jadrový (zbrojný, energetický) priemysel a výsledky prieskumu i vedeckého výskumu z tejto oblasti sa (najmä v období tzv. „studenej vojny“) prísne utajovali. Zdravotné riziká a dopady na obyvateľstvo sa zväčša bagatelizovali a často sa usudzovalo, že radón a dcérske produkty jeho nukleárneho rozpadu bezprostredne ohrozujú len baníkov v uránových baniach.

Obavy verejnosti sú dlhodobo zamerané prevažne na umelé zdroje žiarenia (nukleárne zbrane, jadrová energetika, zdravotníctvo, atď.), pričom väčšina populácie zväčša ani netuší, že najvýznamnejšie ožiarenie (mimo období po jadrových pokusoch, haváriách a pod.) spôsobujú práve prírodné zdroje.

Vplyvmi expozície radónom sa v zahraničí zaoberajú viaceré renomované inštitúcie (napr. UNSCEAR – *United Nations Scientific Committee on the Effects of Atomic Radiation*, ICRP – *International Commission on Radiological Protection*), ale aj ďalšie organizácie a vedecké pracoviská, z výskumov ktorých vyplýva, že prírodné zdroje rádioaktívneho žiarenia prispievajú takmer tromi štvrtinami (73 %) k celkovej radiačnej záťaži populácie.

Najvýznamnejším zdrojom prírodného žiarenia je radón (^{222}Rn) a rádionuklidy (^{218}Po , ^{214}Po , ^{210}Tl , ^{210}Po , ...) vznikajúce pri jeho nukleárnom rozpade. Tieto sú adsorbované v dýchacích cestách človeka, kde dochádza ku kontaktnému ožarovaniu buniek pľúcneho tkaniva, čo môže v konečnom dôsledku viesť až k vzniku zhubného karcinómu pľúc.

Rôznymi štúdiami bolo preukázané, že pravdepodobnosť vzniku rakoviny pľúc sa zväčšuje s narastajúcou koncentráciou radónu a jeho rozpadových produktov, ale aj dĺžkou expozície. Skutočnosť, že radón je po fajčení druhou najvýznamnejšou príčinou rakoviny pľúc, uznala aj Svetová zdravotnícka organizácia a v roku 2009 ho klasifikovala ako karcinogén triedy 1A.

Výsledky novších epidemiologických štúdií preukázali, že expozícia radónom má za následok aj ďalšie formy zdravotného poškodenia, ako sú choroby cievneho a tráviaceho ústrojenstva a že pravdepodobnosť zdravotného poškodenia je teda výrazne vyššia, ako sa pôvodne predpokladalo.

Tieto skutočnosti viedli Európsku komisiu (EC), Medzinárodnú komisiu pre radiačnú ochranu (ICRP) a Svetovú zdravotnícku organizáciu (WHO) k prehodnoteniu zdravotného rizika z expozície radónom.

Európska komisia zadefinovala aj nové požiadavky na zvýšenie ochrany obyvateľstva pred nepriaznivými účinkami ionizujúceho žiarenia – spracovanie legislatívy zameranej na ochranu obyvateľstva a zavádzanie radónových programov, v ktorých informovanosť obyvateľstva patrí medzi priority.

Pri neustále sa zhoršujúcich environmentálnych podmienkach je dôležitá aj radiačná ochrana a to hlavne pred vnútorným ožarovaním prírodnými rádionuklidmi, nakoľko radón a dcérske produkty jeho rozpadu sa na radiačnej expozícii podieľajú v najväčšom rozsahu. Pre objektívne prognózovanie jeho výskytu, šírenia, koncentrácií, krátkodobých i dlhodobých variácií atď. je ich monitorovanie v geologickom prostredí dôležité a opodstatnené.

Hlavným zdrojom prírodného radónu je geologické prostredie a preto je cieľom monitoringu zdokumentovať a komplexne zhodnotiť krátkodobé (sezónne), ale i dlhodobé (rádovo až desiatky rokov) variácie koncentrácií radónu v horninovom prostredí a v podzemných vodách.

Súbor geofyzikálnych prác a činností, realizovaných v podsysteme 05 (*Monitoring objemovej aktivity radónu v geologickom prostredí na území Slovenskej republiky*) v sezóne 2015, predstavoval opakované vzorkovania a merania objemovej aktivity radónu (OAR) v terénnych aj laboratórnych podmienkach na celkom 12-tich lokalitách: šesť lokalít pre pôdny radón (z toho jedna nad tektonikou) a šesť objektov pre radón v podzemných vodách na území Slovenska, vrátane ich komplexného spracovania, vyhodnotenia, porovnania výsledkov s predchádzajúcimi obdobiami, vypracovania hodnotiacich ročných správ (textová, tabuľková a grafická časť), aktualizovania výsledných databáz, atď.

2. METODIKA PRÁC

Celý rad prírodných rádionuklidov a produktov ich jadrového rozpadu je permanentne prítomných vo všetkých zložkách životného prostredia, t.j. v horninách, vodách i v ovzduší. Radón ^{222}Rn (zdroj alfa žiarenia s polčasom rozpadu 3,825 dňa) je inertný prírodný rádioaktívny plyn, vznikajúci samovoľným rozpadom rádia ^{226}Ra (zdroj alfa a gama žiarenia) v rozpadovom rade uránu ^{238}U a patrí medzi tzv. vzácne plyny.

Radón má vyššiu hustotu než vzduch (je najťažším plynom v prírode), je dobre rozpustný vo vode (až 51 % svojho objemu) a ešte lepšie v organických kvapalinách (ropa, olej), je bez farby, chuti a zápachu.

Dobre sa adsorbuje na uhlie (ale aj na parafín a kaučuk) a v prírodnom prostredí napr. na íly. Rozpustnosť aj adsorpcia radónu rastie s poklesom teploty prostredia.

Radón pomerne ľahko preniká horninovým prostredím pričom sa šíri difúznym a konvekčným prúdením. Hlavným zdrojom prírodného radónu je geologické prostredie, t.j. niektoré minerály a horniny, ale aj podzemné vody, prechádzajúce horninami so zvýšeným obsahom uránu. Vzhľadom na polčas rozpadu materských prvkov ($^{238}\text{U} \sim 4,5$ mld. rokov, $^{226}\text{Ra} \sim 1600$ rokov) je z geologického prostredia zaistený jeho trvalý prísun.

Radón má výrazné migračné vlastnosti a jeho obsahy v pôdnom vzduchu i vo vodách nie sú stabilné. Závisia nielen od koncentrácií rádia v hornine, ale aj od ďalších faktorov ovplyvňujúcich jeho šírenie (meteorologické podmienky – vlhkosť, teplota, tlak, rýchlosť vetra; plynopriepustnosť – porozita, tektonické porušenie hornín a pod.).

Cieľom monitorovacích prác v predmetnej časti projektu je sledovanie zmien koncentrácií radónu, ich celkové vyhodnotenie a posúdenie možných vplyvov.

Monitorovanie objemovej aktivity radónu (OAR) v pôdnom vzduchu a v zdrojoch podzemných vôd bolo zamerané na oblasti s potvrdeným výskytom zvýšeného (stredného a vysokého) radónového rizika. Pri výbere lokalít sa vychádzalo z výsledkov hodnotenia starších prieskumných prác, zaoberajúcich sa problematikou prírodnej rádioaktivity, s cieľom zdokumentovať zmeny resp. variácie obsahov radónu v rôznych geologických jednotkách.

Radón v pôdnom vzduchu je na každej lokalite monitorovaný v rámci referenčnej plochy (RP), ktorú tvoria jednotlivé body (sondy pre odber vzoriek pôdneho vzduchu) usporiadané v profiloch, resp. v nepravidelnej sieti, na ploche do cca 400 m². Základný počet bodov v rámci RP je 17 sond (16 sond základného merania plus jedna kontrolná sonda), t.j. minimálny štatistický súbor pre zhodnotenie radónového rizika RP pri každom monitorovaní. Pozícia jednotlivých bodov v rámci RP pri opakovaných monitorovacích prácach je zrovnateľná.

Referenčné plochy (objekty) sú monitorované minimálne dvakrát ročne. Tri objekty sú monitorované s vyššou frekvenciou (4 až 7 monitorovaní) za účelom lepšieho posúdenia vplyvov meteorologických procesov v období apríl až október (november).

Pôdny vzduch pre stanovenie OAR sa odoberá cez ručne zatĺkané sondy, ktoré sa po dosiahnutí hĺbky cca 0,8 m utesnenia, zo sondy sa odsaje atmosférický vzduch a vzorka pôdneho vzduchu sa nasaje do deemanovanej a evakuovanej scintilačnej Lucasovej komory o objeme 125 ml.

Lucasova komora (LK) je kalibrovaný scintilačný detektor, ktorý sa po napustení pôdnym vzduchom transportuje na meranie a stanovenie OAR v laboratórnych podmienkach. Pri odbere pôdneho radónu sa do terénneho zápisníka (okrem údajov nevyhnutných pre výpočet OAR) zaznamenávajú aj ďalšie doplňujúce údaje: počasie, zrážky, atmosférický tlak, kvalita-

tívne posúdenie vlhkosti pokryvu v areáli RP, obtiažnosť hĺbenia sond a odberu pôdneho vzduchu a pod.

Objemová aktivita radónu zdrojov podzemných vôd je sledovaná na známych a turisticky bežne dostupných prameňoch. Vzorky pre stanovenie objemovej aktivity ^{222}Rn vo vode sú odoberané do sklenených vzorkovníc so zabrušeným hrdlom, doplna (objem cca 300 ml), bez vzduchovej bubliny. Pri odbere vzorky vody je meraná okamžitá teplota vody a vzduchu, výdatnosť prameňa, atmosférický tlak, meteorologické podmienky pri odbere, vrátane ďalších údajov potrebných k výpočtu OAR.

V laboratórnych podmienkach je radón z každej vzorkovnice prebublaný cez premývačku do štyroch deemanovaných a evakuovaných LK o objeme 600 ml, ktoré sa následne merajú kalibrovaným meracím zariadením metodikou zhodnou s meraním objemovej aktivity radónu v pôdnom vzduchu.

Za účelom vylúčenia náhodnej chyby sa odoberajú vždy štyri vzorky, pričom výsledným obsahom radónu pre daný odber je stredná hodnota z meraní prvých dvoch vzoriek. Tretia vzorka býva analyzovaná v prípade, ak rozdiel dvojice meraných vzoriek prekročí 10 %. Štvrtá vzorka slúži ako bezpečnostná rezerva pre nepredvídateľné situácie.

Na postup rádiometrických meraní a hodnotenie radónu v geologickom prostredí sa vzťahuje schválená metodika. Spôsob stanovenia objemovej aktivity radónu (OAR; c_A) v pôdnom vzduchu a plynopriepustnosti základových pôd je v súlade s ustanoveniami zákona č. 355/2007 Z.z. o ochrane, podpore a rozvoji verejného zdravia a v zmysle vyhlášky Ministerstva zdravotníctva SR č. 528/2007, ktorou sa ustanovujú podrobnosti o požiadavkách na obmedzenie ožiarovania z prírodného žiarenia.

Pri meraní OAR sa používa kalibrované a metrologicky overené meracie zariadenie typu LUK-4A, využívajúce princíp scintilačnej detekcie alfa častíc v Lucasových komorách.

Merania odobratých vzoriek zmesi plynov v LK sú realizované v laboratórnych podmienkach najskôr 3,5 hod. (210 minút) po ich napustení, t.j. po dosiahnutí stavu rádioaktívnej rovnováhy medzi radónom a dcérskymi produktami jeho rozpadu.

Objemová aktivita radónu v pôdnom vzduchu c_A , sa počíta podľa vzťahu:

$$c_A = (N_V - N_p) / k \cdot V \cdot R(t_v, t_r) ; [\text{kBq} \cdot \text{m}^{-3}]$$

kde : N_V - nameraný počet impulzov vzorky pôdneho vzduchu za čas t_v
 N_p - nameraný počet impulzov pozadia za čas t_v
 k - koeficient účinnosti merania stanovený pri kalibrácii aparatury

- V - objem vzorky pôdneho vzduchu v LK v litroch
 $R(t_v, t_r)$ - korekčný faktor zohľadňujúci rádioaktívnu premenu od odberu vzorky po koniec merania a zároveň aj stav posuvnej rádioaktívnej rovnováhy medzi ^{222}Rn a jeho dcérskymi produktmi rozpadu v LK. Pri meraní (3,5 hod. po napustení LK) je dosiahnutý stav rádioaktívnej rovnováhy medzi radónom a jeho dcérskymi produktmi. Zanedbaním poklesu aktivity radónu v priebehu merania (t_v), môžeme dostatočne presne pre $t_r \geq 210$ min a ľubovoľné t_v určiť $R(t_v, t_r)$ zo vzťahu: $R(t_v, t_r) = 3 \cdot t_v \cdot e^{-\lambda t_r}$ (sec)
 t_v - čas merania vzorky pôdneho vzduchu v LK v sekundách
 t_r - doba od napustenia vzorky pôdneho vzduchu do LK do začiatku merania v minútach
 λ - rozpadová konštanta ^{222}Rn ($0,0001258437 \text{ min}^{-1}$)

Radónové riziko referenčnej plochy je hodnotené v zmysle novelizovanej Smernice MŽP SR (prebieha jej schvaľovanie) a podľa prílohy č. 6 k vyhláske MZ SR č. 528/2007, ktorou sa ustanovujú podrobnosti o požiadavkách na obmedzenie ožiarenia z prírodného žiarenia, kde sú doporučené hranice pre stanovenie troch kategórií radónového rizika – nízke, stredné a vysoké – na základe kvantitatívneho posúdenia nameranej objemovej aktivity radónu v pôdnom vzduchu a plynopriepustnosti zemín podľa tab. č. 1 (*všetky vyhotovené tabuľky dokladujeme v časti TABUĽKY predkladanej správy*).

Plynopriepustnosť miestnych zemín a hornín sa pre každú referenčnú plochu určila skrátenou granulometrickou analýzou odobratej vzorky zeminy a to podľa percentuálneho podielu jemných častíc f (priemer častíc $< 0,06 \text{ mm}$) v zmysle tab. č. 2.

Objemová aktivita radónu vo vode c_A sa počíta podľa vzťahu:

$$c_A = (N_v - N_p) / k \cdot V_v \cdot R(t_v, t_r) \cdot e^{-\lambda t_F} \quad ; \quad [\text{Bq} \cdot \text{l}^{-1}]$$

kde : V_v - objem vzorky vody v premývačke v litroch
 $e^{-\lambda t_F}$ = $F(t_F)$ - koeficient, vyjadrujúci pokles aktivity ^{222}Rn za dobu t_F (doba od času odberu vzorky v teréne po čas naplnenia LK)

ostatné položky sú vysvetlené pri vzťahu pre výpočet objemovej aktivity radónu v pôdnom vzduchu.

3. PREHLAD A VÝSLEDKY UROBENÝCH PRÁČ

Monitoring OAR v geologickom prostredí na území Slovenska bol v roku 2015 realizovaný (podobne ako v predchádzajúcich monitorovacích sezónach) v oblastiach:

- pôdny radón na referenčných plochách,
- pôdny radón na tektonike,
- radón vo vodách.

Geografická situácia monitorovaných objektov je schematicky znázornená na obr. č. 1 (*všetky vyhotovené obrázky prezentujeme v časti OBRÁZKY tejto správy*).

3.1 Pôdny radón na referenčných plochách

Monitoring OAR v pôdnom vzduchu na referenčných plochách (RP) bol v roku 2015 vykonávaný s rôznou frekvenciou na piatich lokalitách v strednom až vysokom (na lokalite RP Hnilec vo vysokom až extrémnom) radónovom riziku:

- RP Hnilec (4x ročne – apríl až november, cca každé dva mesiace)
- RP Novoveská Huta (7x ročne – apríl až november, cca každý mesiac)
- RP Teplička (7x ročne – apríl až november, cca každý mesiac)
- Bratislava – RP Vajnory (2x ročne – máj a september)
- Banská Bystrica – RP Podlavice (2x ročne – máj a september)

RP Hnilec, založená cca 2,1 km JJZ od centra rovnomennej obce pri štátnej ceste č. 533 Spišská Nová Ves – Gemerská Poloma, sa nachádza vo vysokom až extrémnom radónovom riziku. Zdrojom radónu je zvetraný stredno-hrubozrnný gemeridný (tzv. „hnilecký“) granit s anomálnymi obsahmi uránu (podľa terénnej spektrometrie gama ~ 20 ppm eU), ktorý tak radíme k horninám s najvyššou prírodnou rádioaktivitou v Západných Karpatoch.

Monitoring OAR na RP Hnilec bol v sezóne 2015 zrealizovaný 4x a to v období apríl až november (štyri monitorovania, spolu 68 odberov a meraní vzoriek pôdneho vzduchu).

V sezóne 2015 tu medziročne došlo k miernemu poklesu hodnôt OAR v pôdnom vzduchu (trend $OAR_{2015/2014} = 0,93$). Stredná hodnota $OAR_{3,Q}$ (3. kvartil OAR) v sezóne 2015 dosiahla $334 \text{ kBq}\cdot\text{m}^{-3}$, pri dlhodobom priemere $OAR_{2002-2015} = 472 \text{ kBq}\cdot\text{m}^{-3}$.

Po doterajšom maxime z roku 2008 ($712 \text{ kBq}\cdot\text{m}^{-3}$) hodnoty $OAR_{3,Q}$ v pôdnom vzduchu na RP Hnilec v sezónach 2009 až 2013 vykazovali výrazný a systematický pokles. V roku 2014 bol síce zaznamenaný nárast na $359 \text{ kBq}\cdot\text{m}^{-3}$, ale v uplynulej sezóne došlo opäť k poklesu hodnôt $OAR_{3,Q}$ (obr. č. 4). V jednotlivjej sonde tu bola nameraná $OAR_{\max} = 878 \text{ kBq}\cdot\text{m}^{-3}$ (apríl 2015).

Výsledky monitoringu na RP Hnilec v období 2002 – 2015 prezentujeme na obr. č. 4 a prehľadne v tab. č. 6. Podrobnejšie štatistické údaje za uplynulý rok a porovnanie výsledkov monitorovania s predchádzajúcimi sezónami prezentujeme v tab. č. 3.

RP Novoveská Huta je situovaná na JZ okraji rovnomennej obce pozdĺž miestnej obecnej komunikácie od kostola smerom na Rybníky. Založená je v prostredí budovanom pestrofarebnými pieskovecami a bridlicami strážanských vrstiev novoveského súvrstvia (perm) strednej plynopriepustnosti s väzbou na zlomovú líniu SSV – JJZ smeru.

Monitoring OAR v pôdnom vzduchu tu bol v sezóne 2015 zrealizovaný v období apríl až november (sedem monitorovaní, spolu 119 odberov a meraní vzoriek pôdneho vzduchu).

V oblasti predmetnej RP od maxima OAR z roku 2006 (113 kBq.m^{-3}) dochádzalo postupne k poklesu koncentrácií pôdneho radónu až na 35 kBq.m^{-3} v roku 2013, pričom v sezóne 2014 tu došlo k nárastu na 60 kBq.m^{-3} .

V roku 2015 došlo medziročne opäť k poklesu – trend $\text{OAR}_{2015/2014} = 0,85$; dlhodobý priemer $\text{OAR}_{2002-2015} = 69 \text{ kBq.m}^{-3}$, pri najvyššej priemernej mesačnej úrovni $\text{OAR}_{3,Q} = 67 \text{ kBq.m}^{-3}$ v máji 2015 a v jednotlivjej sonde $\text{OAR}_{\text{max}} = 370 \text{ kBq.m}^{-3}$ v auguste 2015.

Grafické znázornenie hodnôt $\text{OAR}_{3,Q}$ v pôdnom vzduchu v jednotlivých monitorovacích sezónach na tejto lokalite, ich vývoj v priebehu sezóny 2015 a porovnanie s predchádzajúcimi obdobiami (2002 – 2015) dokumentujeme na obr. č. 2. Pre možnosť kvalitatívneho posúdenia úrovni OAR a mesačných zrážkových úhrnov zo stanice Spišské Podhradie (zdroj: *shmu.sk*) je do obrázku zapracovaná príslušná grafická závislosť.

Výsledky štatistického vyhodnotenia výsledkov meraní sú prehľadne spracované v tab. č. 3 a sumárne v tab. č. 6.

V letných mesiacoch sú na RP Novoveská Huta dlhodobo zisťované zvýšené a na jar a jeseň znížené $\text{OAR}_{3,Q}$. Výrazný pokles koncentrácií pôdneho radónu (niekedy až na úroveň nízkeho radónového rizika), často zaznamenaný pri monitoringu na tejto lokalite pri prvých jesenných mrazoch, bol v uplynulej sezóne zaregistrovaný na začiatku novembra, kedy pri teplote $-4,0 \text{ }^\circ\text{C}$ poklesla $\text{OAR}_{3,Q}$ iba na 23 kBq.m^{-3} .

RP Teplička je lokalizovaná približne 2,8 km južne od centra Spišskej Novej Vsi v lokalite Šulerloch (podľa rovnomennej kóty 646 m).

Podložie RP budujú sedimenty paleogénu (bridlice, pieskovce) strednej plynopriepustnosti s vyšším podielom ílovitej frakcie. Ílovité vrstvičky s malou priepustnosťou síce tvoria pomerne účinnú bariéru pri prenikaní radónu k povrchu, ale tento jav sa prejavuje iba pri zvýšenej vlhkosti horninového prostredia. Opačnú závislosť je – do určitej miery – možné očakávať v obdobiach s nízkymi zrážkovými úhrnmi, kedy plynopriepustnosť miestnych sedimentov (v dôsledku poklesu vlhkosti pokryvných útvarov) významne vzrastie.

Monitoring tu bol zrealizovaný v období apríl až november (sedem monitorovaní, 119 odberov a meraní vzoriek pôdneho vzduchu). Minimálne úrovne boli zaznamenané v auguste $\text{OAR}_{3,Q} = 39 \text{ kBq.m}^{-3}$ a maximálne v septembri $\text{OAR}_{3,Q} = 82 \text{ kBq.m}^{-3}$. Najvyšší obsah pôdneho radónu v jednotlivjej sonde bol zaznamenaný v novembri ($\text{OAR}_{\text{max}} = 101 \text{ kBq.m}^{-3}$).

V areáli tejto RP od maxima OAR z roku 2005 (92 kBq.m^{-3}) dochádzalo postupne k výraznému poklesu koncentrácií pôdneho radónu (okrem sezóny 2010 s vysokými úhrnmi zrážok) až na 35 kBq.m^{-3} (rok 2013), ale v sezóne 2014 tu došlo k nárastu na 68 kBq.m^{-3} .

V roku 2015 došlo medziročne k miernemu poklesu – trend $OAR_{2015/2014} = 0,94$; dlhodobý priemer $OAR_{2002-2015} = 68 \text{ kBq.m}^{-3}$, pri najvyššej priemernej mesačnej úrovni $OAR_{3,Q} = 82 \text{ kBq.m}^{-3}$ v septembri 2015 a v jednotlivej sonde $OAR_{\max} = 101 \text{ kBq.m}^{-3}$ v novembri 2015.

Priebeh variácií OAR v pôdnom vzduchu dokladujeme na obr. č. 3, kde formou stĺpcového diagramu prezentujeme výsledky monitorovania od roku 2002, vrátane grafu mesačných zrážkových úhrnov zo zrážkomernej stanice v Spišskom Podhradí. Výsledky komplexného štatistického spracovania meraní sú v tab. č. 3 a sumárne v tab. č. 6.

RP Bratislava – Vajnory je založená na SV okraji rovnomennej mestskej časti Bratislavy, neďaleko Vajnorskej cesty, pozdĺž melioračného kanála približne S-J smeru.

Podložie monitorovaného objektu tvoria fluviálne holocénne sedimenty (piesčité až štrkovité hliny) so strednou až dobrou plynopriepustnosťou.

Monitoring OAR v pôdnom vzduchu na tejto lokalite bol v roku 2015 zrealizovaný v mesiacoch máj a september (dve monitorovania, 34 odberov a meraní vzoriek pôdneho vzduchu).

Na RP Bratislava – Vajnory došlo medziročne k najvýraznejšiemu poklesu obsahov pôdneho radónu zo všetkých monitorovaných objektov (trend $OAR_{2015/2014} = 0,66$) pri strednej hodnote $OAR_{3,Q} = 31 \text{ kBq.m}^{-3}$ a dlhodobom priemere $OAR_{2005-2015} = 45 \text{ kBq.m}^{-3}$.

Najvyššie koncentrácie radónu v pôdnom vzduchu v jednotlivej sonde sa tu zistili pri jarnom monitoringu (44 kBq.m^{-3}). Priemerné hodnoty $OAR_{3,Q}$ v sezóne 2015 boli pomerne nízke a dosiahli 37 kBq.m^{-3} (jar), resp. 25 kBq.m^{-3} (jeseň).

Na RP Bratislava – Vajnory sa v období 2005 až 2012 (s výnimkou mimoriadne vlhkej sezóny 2010) postupne znižovali priemerné ročné úrovne $OAR_{3,Q}$. V monitorovacích obdobiach 2013 – 2014 tu došlo k ich miernemu nárastu, ale v uplynulej sezóne opäť k poklesu.

Podrobné informácie a výsledky štatistického spracovania nameraných hodnôt OAR v pôdnom vzduchu po jednotlivých monitorovacích obdobiach dokladujeme v tab. č. 3 a 6 a graficky na obr. č. 4.

RP Banská Bystrica – Podlavice je lokalizovaná na SZ okraji Banskej Bystrice (časť Podlavice), po oboch stranách poľnej cesty neďaleko od záhradkárskej (chatovej) kolónie.

Geologické podložie referenčnej plochy je budované ramsauskými dolomitmi s anomálnymi koncentraciami uránu (tzv. „uránové dolomity“).

Monitorovanie OAR v pôdnom vzduchu sa v sezóne 2015 uskutočnilo v máji a septembri (dve monitorovania, spolu 34 odberov a meraní vzoriek pôdneho vzduchu). Medziroč-

ne tu bol zaznamenaný mierny pokles $OAR_{3,Q} = 56 \text{ kBq.m}^{-3}$, pri trende $OAR_{2015/2014} = 0,95$ a dlhodobom priemere $OAR_{2005-2015} = 72 \text{ kBq.m}^{-3}$.

Maximálny obsah pôdneho radónu v jednotlivých sondách dosiahol 248 kBq.m^{-3} (jar), s priemernými hodnotami $OAR_{3,Q}$ na úrovni 83 kBq.m^{-3} (jar), resp. 28 kBq.m^{-3} (jeseň).

Na tomto objekte bol od roku 2005 (okrem sezóny 2010, charakterizovanej mimoriadne vysokými zrážkovými priemerami) až do roku 2012 sledovaný postupný a výrazný pokles úrovni $OAR_{3,Q}$. V ostatných troch sezónach (2013 až 2015) tu boli zaznamenané vyššie a úrovňovo stabilnejšie hodnoty.

Vyhodnotené výsledky monitorovania sú prehľadne spracované v tab. č. 3 a tab. č. 6. Výsledky monitoringu OAR v pôdnom vzduchu na RP Banská Bystrica – Podlavice v sezónach 2005 až 2014 graficky dokumentujeme na obr. č. 4.

3.2 Pôdny radón na tektonike

Prvé orientačné emanačné merania na lokalite **Dobrá Voda** boli zrealizované v sezóne 2012 na profile DV-1, založenom cca 1,1 km SSZ od centra rovnomennej obce. Profil mal smer približne SV–JZ, dĺžku 80 m a krok odberu vzoriek pôdneho radónu 5 m (obr. č. 5).

Vysledovaná poruchová zóna vo wettersteinských dolomitoch, prekrytá fluviálnymi nivnými sedimentmi, sa prejavila výrazným nárastom koncentrácií pôdneho radónu s $OAR_{\max} = 24 \text{ kBq.m}^{-3}$ v normálnom poli o úrovni pod 2 kBq.m^{-3} .

V sezóne 2013 boli merania OAR v pôdnom vzduchu vykonané na geofyzikálnom profile DV-2, situovanom cca 80 m SZ od profilu DV-1. Plynometria bola zrealizovaná zároveň s geoelektrickým prieskumom metódou odporovej tomografie (ERT – multikábel) s krokom merania 5,5 m.

Sledovaná poruchová zóna bola aj na tomto profile indikovaná výrazným nárastom koncentrácií pôdneho radónu s $OAR_{\max} = 20 \text{ kBq.m}^{-3}$ v normálnom poli cca 1 kBq.m^{-3} a tak tiež výrazným poklesom merných odporov z úrovne presahujúcej 3.000 ohmm v slabo porušených, zvetraných (?) wettersteinských dolomitoch až k hodnote pod 300 ohmm nad samotnou tektonickou dislokáciou.

V sezónach 2014 a 2015 sa urobili detailné merania koncentrácií pôdneho radónu na plochách P-1, resp. P-2 (zhodne po 6 emanometrických profilov, sieť 5 x 10 m), založených v okolí, resp. južne od emanačnej anomálie OAR, vysledovanej v roku 2012 na profile DV-1.

Poruchová zóna sa aj v sezóne 2015 na ploche P-2 výrazne prejavila anomálnym zvýšením koncentrácií pôdneho radónu $OAR_{\max} = 48 \text{ kBq.m}^{-3}$, v normálnom poli cca 7 kBq.m^{-3} (obr. č. 5).

Oblasť poruchovej zóny v areáli lokality Dobrá Voda sa jednoznačne prejavuje zvýšením koncentrácií pôdneho radónu. Vysledovaná tektonická zóna pozitívne ovplyvňuje transport radónu do pripovrchových častí aj z väčších hĺbok, takže obsahy radónu v pôdnom vzduchu tu dosahujú anomálne hodnoty, rádovo prevyšujúce pozadie.

Po získaní nevyhnutného prístrojového vybavenia na kontinuálne meranie OAR a vybudovaní monitorovacieho objektu (pozorovací vrt) tu do budúcnosti predpokladáme prepojenie podsystémov 05 a 02 (*Tektonická a seizmická aktivita územia*).

3.3 Radón vo vodách

Práce a činnosti, vykonávané pri monitorovaní OAR v zdrojoch podzemných vôd, boli v roku 2015 zrealizované s rôznou frekvenciou na šiestich objektoch:

- Malé Karpaty, prameň Mária (2x ročne – jar a jeseň)
- Malé Karpaty, prameň Zbojníčka (2x ročne – jar a jeseň)
- Malé Karpaty, prameň Himligárka (2x ročne – jar a jeseň)
- Bacúch, prameň Boženy Němcovej (8x ročne – interval 1 až 2 mesiace)
- Spišské Podhradie, prameň sv. Ondreja (12x ročne – každý mesiac)
- Oravice, pramenisko pri vrte OZ-1 (2x ročne – jar a jeseň)

Výstupy meraní OAR v podzemných vodách boli štatisticky spracované a dokladujeme ich formou tabuľkových výstupov (tab. č. 4, 5 a 6). Výsledky meraní na predmetných lokalitách za obdobie 2002 (2006) až 2015 graficky prezentujeme formou prehľadných stĺpcových grafov na obr. č. 6, 7 a 8.

V tab. č. 4 dokladujeme základné výsledky monitoringu OAR vo vodách za obdobie sezóny 2015, vrátane doplňujúcich údajov (teplota vzduchu a vody, výdatnosť zdroja). V tabuľke sú uvedené aj vybrané údaje monitoringu OAR vo vodách z predošlých období. Výsledky štatistického spracovania nameraných koncentrácií radónu a výdatností sledovaných vodných zdrojov za obdobie 2002 (2006) až 2015 uvádzame v tab. č. 5. Prehľadný súhrn výsledkov monitorovania za uvedené sezóny je v tab. č. 6.

V oblasti **Malých Karpát** (severne od centra Bratislavy) boli v máji a septembri 2015 monitorované pramene: **Mária** (Máriin prameň), **Zbojníčka** a **Himligárka**. Zachytené a stavebne upravené pramene sú viazané na kyslé prostredie kryštalínika Malých Karpát (leukokrátne muskovitické a dvojsľudné granity, granodiority; bratislavský typ) a na porušené zóny, v ktorých sú dobré podmienky na akumuláciu a transport radónu.

Malý nárast OAR v podzemných vodách v roku 2015 bol medziročne zaznamenaný v prameni Mária (trend $OAR_{2015/2014} = 1,03$) pri priemernej ročnej hodnote $OAR_{2015} = 36 \text{ Bq.l}^{-1}$

a dlhodobom priemere $OAR_{2002-2015} = 33 \text{ Bq.l}^{-1}$.

Nárast koncentrácií radónu bol vysledovaný taktiež na prameni Zbojnička (trend $OAR_{2015/2014} = 1,09$) pri priemernej ročnej hodnote $OAR_{2015} = 303 \text{ Bq.l}^{-1}$ a dlhodobom priemere $OAR_{2002-2015} = 254 \text{ Bq.l}^{-1}$.

Výrazný pokles obsahov radónu v zdrojoch podzemných vôd bol medziročne zistený iba na prameni Himligárka (trend $OAR_{2015/2014} = 0,72$) pri strednej ročnej úrovni $OAR_{2015} = 139 \text{ Bq.l}^{-1}$ a dlhodobom priemere $OAR_{2002-2015} = 170 \text{ Bq.l}^{-1}$.

Vyššie koncentrácie radónu sa vysledovali pri jarnom (Mária a Zbojnička), resp. jesennom monitoringu (Himligárka). Koeficienty variácie OAR (V_{Rn}) v sezóne 2015 boli zvýšené a pohybovali sa v rozmedzí 13 % (Zbojnička) až 15 % (Himligárka; tab. č. 4).

Na všetkých troch monitorovaných prameňoch v oblasti Malých Karpát došlo medziročne k veľmi výraznému poklesu priemerných výdatností ($Q_{Mária} = 0,134 \text{ l.s}^{-1}$, $Q_{Zbojnička} = 0,162 \text{ l.s}^{-1}$ a $Q_{Himligárka} = 0,147 \text{ l.s}^{-1}$), podmienených malými výdatnosťami v jarnom aj jesennom monitorovacom termíne. Korelačná závislosť medzi OAR a výdatnosťou zdrojov podzemných vôd nebola zistená. Podrobnejšie informácie sú v tab. č. 4 a 5 a na obr. č. 8.

Prameň Boženy Němcovej, lokalizovaný severne od obce Bacúch, bol v uplynulej sezóne monitorovaný 8x (v období január až apríl každý mesiac, zvyšok sezóny každý druhý mesiac). Zachytený a stavebne upravený prameň vyviera na povrch v prostredí granáticko-muskoviticko-biotitických pararúl, svorových rúl až svorov. Zdrojom radónu sú pravdepodobne porušené, emanačne schopné zóny kryštalinika Nízkyh Tatier.

Maximum objemovej aktivity radónu (367 Bq.l^{-1}) bolo zaznamenané v marci a minimum (201 Bq.l^{-1}) v októbri 2015 (tab. č. 4 a 5, obr. č. 7).

Na lokalite došlo medziročne k miernemu nárastu koncentrácií radónu v podzemných vodách (trend $OAR_{2015/2014} = 1,11$), pri strednej hodnote $OAR_{2015} = 305 \text{ Bq.l}^{-1}$ a dlhodobom priemere $OAR_{2002-2015} = 272 \text{ Bq.l}^{-1}$ (tab. č. 6).

Priemerná výdatnosť prameňa v roku 2015 dosiahla $0,020 \text{ l.s}^{-1}$, pri nízkom koeficiente variácie ($V_Q = 9 \%$). Aj v porovnaní s predošlými monitorovacími sezónami sa jedná o dlhodobu relatívne stabilnú úroveň: v sezónach 2002 až 2015 sa výdatnosti pohybovali v rozmedzí iba $0,020 - 0,027 \text{ l.s}^{-1}$, pri pomerne nízkej variabilite ($V_Q = 7 - 17 \%$). Ani na tomto prameni nebola zistená korelačná závislosť medzi OAR a výdatnosťou.

Prameň sv. Ondreja pri Spišskom Podhradí, je lokalizovaný v areáli lokality Sivá Brada pri štátnej ceste č. 18 (E 50) Poprad – Prešov. Zachytený a stavebne upravený prameň,

vyvierajúci z travertínovej kopy v oblasti budovanej hlinito-kamenitými deluviálnymi sedimentmi, sa monitoruje 12x ročne v mesačných intervaloch.

V uplynulej sezóne tu medziročne došlo k malému nárastu priemerných obsahov radónu $OAR_{2015} = 191 \text{ Bq.l}^{-1}$ (trend $OAR_{2015/2014} = 1,04$), pri dlhodobom priemere $OAR_{2002-2015} = 172 \text{ Bq.l}^{-1}$. Najvyššia hodnota $OAR = 229 \text{ Bq.l}^{-1}$ bola zaznamenaná v marci a najnižšia (148 Bq.l^{-1}) v júli sezóny 2015 (obr. č. 6, tab. č. 4, 5 a 6).

Výdatnosti prameňa sa v sezóne 2015 pohybovali v rozmedzí $0,033 - 0,044 \text{ l.s}^{-1}$, so strednou hodnotou $0,040 \text{ l.s}^{-1}$ a koeficiente variácie $V_Q = 7 \%$. Priemerná výdatnosť prameňa aj v predošlých monitorovacích sezónach variovala v relatívne úzkom rozmedzí $0,033$ až $0,044 \text{ l.s}^{-1}$ ($V_Q = 7 - 30 \%$), bez korelácie na koncentrácie radónu vo vode.

Pramenisko Jašterčie, situované cca 1,8 km južne od obce Oravice (neďaleko vrtu OZ-1), bolo monitorované v apríli a októbri 2015.

Vody tohto zdroja majú hlboký obeh, viazaný na predterciérne útvary a zóny hlbinných tektonických dislokácií. Zdroj radónu je nielen emanačný (získavaný z prostredia emanujúcich hornín), ale aj autogénny (vznikajúci rozpadom rádia obsiahnutého vo vode).

V tomto prírodnom termálnom vývere podzemných vôd (na povrch vyvierajú v prostredí glaciáluviálnych sedimentov), sú dlhodobo zaznamenávané doposiaľ najvyššie známe objemové aktivity radónu v prírodných podzemných vodách v rámci územia Slovenska.

Potvrdzujú to aj výsledky meraní v roku 2015, kedy boli namerané hodnoty $OAR = 1186 \text{ Bq.l}^{-1}$ (jar) a 1193 Bq.l^{-1} na jeseň (trend $OAR_{2015/2014} = 1,12$), pri strednej ročnej úrovni $OAR_{2015} = 1190 \text{ Bq.l}^{-1}$ a dlhodobom priemere $OAR_{2006-2015} = 1047 \text{ Bq.l}^{-1}$.

Vzhľadom na charakter zdroja – pramenisko so starým poničeným zberným objektom – nie je možné (bez pomerne náročných technických prác) určiť jeho výdatnosť.

Získané údaje prezentujeme v tab. č. 4, 5, 6 a na obr. č. 8.

4. ZÁVERY A ODPORÚČANIA

Riešenie projektu „*Monitoring objemovej aktivity radónu v geologickom prostredí na území Slovenskej republiky*“, ktorý je jedným z podsystémov významnej úlohy „**Čiastkový monitorovací systém geologických faktorov životného prostredia Slovenskej republiky**“, pokračovalo v roku 2015 v rozsahu porovnateľnom so sezónou 2014.

Súbor geofyzikálnych prác a činností, realizovaných v tomto podsystéme v roku 2015, predstavoval opakované vzorkovania a merania OAR v terénnych aj laboratórnych podmienkach na celkom 12-tich lokalitách (šesť lokalít pre pôdny radón – z toho jedna nad tektonikou

a šesť objektov pre radón v podzemných vodách) v rámci územia Slovenska (obr. č. 1), vrátane ich komplexného spracovania, vyhodnotenia, porovnania výsledkov s predchádzajúcimi obdobiami, vypracovania jednotlivých ročných správ (textová, tabuľková a grafická časť), aktualizovania výsledných databáz, atď.

Monitorovanie OAR v pôdnom vzduchu na RP sa v sezóne 2015 vykonávalo s rôznou frekvenciou v období apríl až november na lokalitách v strednom a vysokom radónovom riziku: Bratislava – RP Vajnory, Banská Bystrica – RP Podlavice, Spišská Nová Ves – RP Novoveská Huta a RP Teplička, resp. vo vysokom až extrémnom radónovom riziku na RP Hnilec.

Najrozsiahlejšie monitorovanie OAR v pôdnom vzduchu (v čo možno najširšom spektre meteorologických podmienok), prebehlo na objektoch RP Novoveská Huta a RP Teplička (po 7x za rok), resp. na lokalite RP Hnilec (4x v roku). Ostatné lokality boli monitorované dvakrát ročne a to v jarnom a jesennom období.

Merania OAR nad tektonickou dislokáciou na lokalite Dobrá Voda boli zrealizované začiatkom septembra 2015.

Objemová aktivita radónu v zdrojoch podzemných vôd bola sledovaná v troch prameňoch v oblasti Malých Karpát v extraviláne Bratislavy (pramene Mária, Zbojníčka a Himligárka – každý 2x v roku), v prameni sv. Ondreja na Sivej Brade pri Spišskom Podhradí (12x ročne), v prameni Boženy Němcovej pri Bacúchu (8x za rok) a na pramenisku Jašterčie pri Oraviciach (2x v priebehu roka).

Získané výsledky boli vyhodnotené, štatisticky spracované a v predkladanej ročnej správe ich prezentujeme formou prehľadných tabuliek, grafov a sprievodného textu. Priebežne sú aktualizované databázy (dátové súbory) v schválenej štruktúre a fyzickej náplni.

Výsledky monitorovania dlhodobo potvrdzujú skutočnosť, že priebeh sezónnych variácií OAR v pôdnom vzduchu významne závisí od meteorologických a klimatických faktorov, vlhkosti a plynopriepustnosti miestnych zemín a hornín, ale v nezanedbateľnom rozsahu aj na samotnej štruktúrno-geologickej stavbe a litologickej charakteristike horninového prostredia v areáli konkrétnej lokality.

Klimatické a meteorologické podmienky boli v uplynulých monitorovacích sezónach pre akumuláciu a možnosti šírenia radónu v geologickom prostredí značne odlišné.

V rokoch 2004 – 2006 boli dlhšie zimy a častejšie a výdatnejšie zrážky na jar pozitívne ovplyvňovali vlhkosť pôdy a teda aj podmienky pre akumuláciu radónu v horninách.

O niečo iná situácia nastala v sezónach 2007 – 2009, keď zima i jar boli zrážkovo

podpriemerné a menej zrážok bolo aj v letnom období (prevažne iba lokálne zrážky a búrky).

Veľmi vysoké priemery atmosférických zrážok boli zaznamenané v roku 2010, kedy napršalo až 1255 mm (najviac od roku 1937 = 1015 mm).

V sezóne 2011 došlo naopak k výraznému poklesu množstva zrážok, ktoré dosiahli iba 656 mm (doposiaľ najnižšie úhrny zrážok pri monitoringu OAR v pôdnom vzduchu na RP, boli zaznamenané v roku 2003 = 573 mm). Záver roka 2011 sa dokonca stal jedným z najsuchších období za ostatných viac ako 100 rokov.

Atmosférické zrážky na území Slovenska v sezóne 2012 boli prakticky na úrovni dlhodobého priemeru (98 %) a dosiahli 747 mm, v roku 2013 potom 864 mm (122 % dlhodobého priemeru) a v roku 2014 až 957 mm (119 % dlhodobého priemeru). Sezóna 2014 bola zároveň najteplejšou od roka 1881, kedy sa začalo so systematickými meraniami teplôt ovzdušia na našom území. V roku 2015 došlo k pomerne výraznému poklesu zrážkových úhrnov, ktoré dosiahli 719 mm (98 % dlhodobého priemeru).

Prehľad priemerných ročných zrážkových úhrnov pre územie SR za obdobie 2002 – 2015 uvádzame v tab. č. 6 (zdroj: www.shmu.sk).

Všeobecne sa predpokladá, že pôdna vlhkosť „pozitívnym“ spôsobom ovplyvňuje koncentrácie radónu v pôdnom vzduchu, pretože vyššia vlhkosť pokryvných útvarov v oblasti monitorovaného objektu viac alebo menej účinne spomaľuje prenikanie radónu k povrchu a ďalej do ovzdušia. To vedie k nárastu jeho obsahov v pôdnom vzduchu a naopak – pri poklese pôdnej vlhkosti spravidla klesajú aj hodnoty OAR.

Táto interakcia medzi OAR v pôdnom vzduchu a plynopriepustnosťou (vlhkosťou) sa v sezóne 2015 potvrdila na všetkých monitorovaných objektoch, kedy sa trendy OAR_{2015/2014} pohybovali v rozmedzí 0,66 (Bratislava – Vajnory) až 0,95 (Banská Bystrica – Podlavice).

Aj keď sa doterajšie zistenia nedajú v plnom rozsahu zovšeobecňovať, v sezónach (resp. dlhších obdobiach) s nízkymi atmosférickými zrážkami je možné očakávať viac alebo menej výrazný pokles obsahov pôdneho radónu.

Nejednoznačnou sa doposiaľ javí závislosť medzi zvýšením úrovne OAR v pôdnom vzduchu v sezónach s vysokými zrážkovými priemermi, ktorá bude vyžadovať dlhodobejšie sledovanie.

Sezónne variácie OAR v pôdnom vzduchu závisia nielen od vlhkosti (plynopriepustnosti) miestnych zemín a hornín, ale aj od samotnej geologickej stavby a litologickej charakteristiky konkrétnej lokality. Z toho vyplýva, že aj pri rovnakých meteorologických podmienkach, ale v rôznom geologickom prostredí, nemusí byť charakter variácií zhodný. Tento

poznatok je jedným z významných zistení pri sledovaní variácií OAR v pôdnom vzduchu v rámci predmetného projektu.

Príkladom toho sú výsledky monitoringu OAR v pôdnom vzduchu na RP Novoveská Huta (homogénne permské sedimenty strednej plynopriepustnosti) a RP Teplička (paleogénne sedimenty so strednou až nízkou plynopriepustnosťou, so zvýšeným podielom ílovitej frakcie), ktoré sú relatívne blízko seba (cca 5 km), približne v rovnakej klimatickej oblasti, ale s odlišným geologickým profilom, v ktorom je akumulácia a šírenie radónu sledované.

Obe tieto lokality boli v sezóne 2015 monitorované v ten istý deň (t.j. v zrovnateľných meteorologických podmienkach), ale výsledky meraní OAR v pôdnom vzduchu vykazujú odlišný priebeh. Dlhodobo sledovaný charakter variačných závislostí je tu pozorovateľný aj v sezóne 2015. Sú však pomerne výrazne skreslené variabilitou atmosférických zrážok.

Po zhodnotení výsledkov monitorovania OAR v pôdnom vzduchu za uplynulé sezóny (tab. č. 6) môžeme konštatovať, že na:

- **RP Hnilec** po doterajšom maxime $OAR_{2008} = 712 \text{ kBq.m}^{-3}$ obsahu radónu v pôdnom vzduchu do roku 2013 vykazovali veľmi výrazný a systematický pokles ($OAR_{2013} = 255 \text{ kBq.m}^{-3}$); v sezóne 2015 došlo medziročne k poklesu na 334 kBq.m^{-3} (trend $OAR_{2015/2014} = 0,93$), čo je však výrazne pod úrovňou dlhodobého priemeru ($OAR_{2002-2015} = 472 \text{ kBq.m}^{-3}$)
- **RP Novoveská Huta** od maxima $OAR_{2006} = 113 \text{ kBq.m}^{-3}$ došlo postupne k poklesu koncentrácií pôdneho radónu až na $OAR_{2013} = 35 \text{ kBq.m}^{-3}$; v roku 2015 bol medziročne zaznamenaný pokles na 51 kBq.m^{-3} pri trende $OAR_{2015/2014} = 0,85$ (dlhodobý priemer $OAR_{2002-2015} = 69 \text{ kBq.m}^{-3}$)
- **RP Teplička** od maxima $OAR_{2005} = 92 \text{ kBq.m}^{-3}$ (okrem mimoriadne daždivého roku 2010) pozorujeme pokles koncentrácií radónu v pôde až na $OAR_{2013} = 35 \text{ kBq.m}^{-3}$; v sezóne 2015 došlo k poklesu na 64 kBq.m^{-3} , pri trende $OAR_{2015/2014} = 0,94$ a dlhodobom priemere $OAR_{2002-2015} = 68 \text{ kBq.m}^{-3}$
- **RP Bratislava – Vajnory** z úrovne $OAR_{2005} = 67 \text{ kBq.m}^{-3}$ (okrem roku 2010) došlo postupne k poklesu iba na $OAR_{2012} = 19 \text{ kBq.m}^{-3}$; v sezóne 2015 došlo k poklesu na $OAR_{2015} = 31 \text{ kBq.m}^{-3}$ (trend $OAR_{2015/2014} = 0,66$), pri dlhodobom priemere $OAR_{2005-2015} = 45 \text{ kBq.m}^{-3}$
- **RP Banská Bystrica – Podlavice** z hodnoty $OAR_{2005} = 118 \text{ kBq.m}^{-3}$ (s výnimkou sezóny 2010) došlo k poklesu iba na $OAR_{2012} = 24 \text{ kBq.m}^{-3}$; v sezóne 2015 boli medziročne vysledované obsahy pôdneho radónu na úrovni: $OAR_{2015} = 56 \text{ kBq.m}^{-3}$ (trend

$OAD_{2015/2014} = 0,95$), dlhodobý priemer $OAD_{2005-2015} = 72 \text{ kBq}\cdot\text{m}^{-3}$

- namerané OAR v pôdnom vzduchu, vysledované v roku 2015, sú znížené a pohybujú sa na úrovni cca 70 – 94 % dlhodobých priemerov.

Výsledky monitorovania OAR v pôdnom vzduchu dlhodobo dokumentujú variabilitu jeho obsahov v pripovrchových častiach horninového prostredia v priebehu roka, ale aj v období viacerých monitorovaných sezón. Potvrzuje sa pomerne významná závislosť úrovni OAR na meteorologických, resp. klimatických podmienkach, ale s nejednoznačným efektom na jednotlivých lokalitách, čo je o.i. zrejme aj dôsledkom ich odlišných štruktúrno-geologických a litologických charakteristík.

Merania OAR v pôdnom vzduchu nad tektonickou dislokáciou na lokalite **Dobrá Voda** jednoznačne a kontrastne potvrdzujú výskyt porušenej zóny, pozitívne ovplyvňujúcej transport radónu k povrchu z väčších hĺbok. Obsahy pôdneho radónu tu dosahujú anomálne hodnoty, rádovo prevyšujúce pozadie.

Po analýze výsledkov monitorovania OAR v podzemných vodách za uplynulé sezóny je možné konštatovať, že:

- **prameň Mária** (Malé Karpaty): v posledných ôsmich monitorovacích sezónach sa priemerné koncentrácie radónu ustálili v rozmedzí 33 – 36 $\text{Bq}\cdot\text{l}^{-1}$, variabilita $OAD_{2002-2015} = 27 – 40 \text{ Bq}\cdot\text{l}^{-1}$, pri dlhodobom priemere 33 $\text{Bq}\cdot\text{l}^{-1}$
- **prameň Zbojnička** (Malé Karpaty): dosiahol priemernú ročnú úroveň $OAD_{2015} = 303 \text{ Bq}\cdot\text{l}^{-1}$ (najviac od roku 2002), stredné hodnoty $OAD_{2002-2015} = 178 – 303 \text{ Bq}\cdot\text{l}^{-1}$, dlhodobý priemer za hodnotené obdobie je 254 $\text{Bq}\cdot\text{l}^{-1}$
- **prameň Himligárka** (Malé Karpaty): po výraznom poklese OAR v sezóne 2008 (156 $\text{Bq}\cdot\text{l}^{-1}$) tu došlo v nasledujúcich piatich rokoch postupne k nárastu až na 207 $\text{Bq}\cdot\text{l}^{-1}$ (rok 2012), v nasledovných dvoch sezónach opäť k miernemu poklesu, ale v sezóne 2015 došlo k ešte výraznejšiemu poklesu iba na 139 $\text{Bq}\cdot\text{l}^{-1}$ (najmenej od roku 2008) pri variabilite $OAD_{2002-2015} = 125 – 208 \text{ Bq}\cdot\text{l}^{-1}$ a dlhodobom priemere 170 $\text{Bq}\cdot\text{l}^{-1}$
- **prameň Boženy Němcovej** (Bacúch): z maxima $OAD_{2010} = 344 \text{ Bq}\cdot\text{l}^{-1}$ došlo v roku 2015 k poklesu na 305 $\text{Bq}\cdot\text{l}^{-1}$, priemerné ročné úrovne $OAD_{2002-2015}$ varírujú v pomerne širokom rozmedzí 222 – 344 $\text{Bq}\cdot\text{l}^{-1}$, dlhodobý priemer $OAD_{2002-2015} = 272 \text{ Bq}\cdot\text{l}^{-1}$
- **prameň sv. Ondreja** (Spišské Podhradie): od sezóny 2007 sa výrazne zvýšili priemerné ročné koncentrácie radónu: $OAD_{2002-2006} = 146 \text{ Bq}\cdot\text{l}^{-1}$, ale $OAD_{2007-2015} = 187 \text{ Bq}\cdot\text{l}^{-1}$, priemerné ročné hodnoty $OAD_{2002-2015} = 137 – 198 \text{ Bq}\cdot\text{l}^{-1}$, dlhodobý priemer

172 Bq.l⁻¹

- **pramenisko Jašterčie** (Oravice): objekt vykazuje najvyššiu variabilitu OAR z monitorovaných zdrojov podzemných vôd (štandardná odchýlka $\sigma_{2006-2015} = 209 \text{ Bq.l}^{-1}$); dosahované sú tu najvyššie známe OAR v prírodných podzemných vodách, priemerné ročné úrovne $\text{OAR}_{2006-2015} = 536 - 1217 \text{ Bq.l}^{-1}$, dlhodobý priemer 1047 Bq.l^{-1}
- na žiadnom z monitorovaných objektov nebola zistená korelačná závislosť medzi objemovou aktivitou radónu vo vode a výdatnosťou prameňa
- obsahy radónu v podzemných vodách, zaznamenané v sezóne 2015, sú prevažne zvýšené a pohybujú sa na úrovni cca 82 – 119 % dlhodobého priemeru.

Variácie objemovej aktivity radónu v sledovaných zdrojoch podzemných vôd majú skôr sezónny charakter a v priebehu monitorovania počas viacerých sezón vykazujú určitú vlnovú, resp. „sinusoidálnu“ pravidelnosť (obr. č. 6 a 7). Na rozdiel od pôdneho radónu nie sú natoľko ovplyvňované náhodnými javmi resp. zmenami v atmosfére a nie sú tak „citlivé“ na rôzne krátkodobé zmeny počasia (teplota, atmosférický tlak). Maximálne úrovne OAR v podzemných vodách sú zaznamenávané spravidla v zime, resp. na jar a minimálne hodnoty v letných a jesenných mesiacoch.

Z praktického hľadiska majú doposiaľ získané poznatky nezanedbateľný význam, pretože poukazujú napr. na možnosť podhodnotenia / nadhodnotenia radónového rizika stavebného pozemku pri meraniach realizovaných za nevhodných meteorologických podmienok (obdobia s nízkymi / vysokými zrážkovými úhrnmi, výrazné teplotné rozdiely medzi atmosférou a pokryvnými sedimentmi – hlavne skoro na jar, neskoro na jeseň, prípadne v zime). Nevyhnutným sa javí aj dôkladné posúdenie geologického prostredia (hlavne vo zvrstvených sedimentoch so zvýšeným / vysokým podielom ílovitej frakcie, prítomnosť tektonických dislokácií a pod.) pri vyhodnocovaní výsledkov týchto meraní.

Zhodnotenie výsledkov monitorovania OAR v geologickom prostredí z roku 2015, ale aj z predchádzajúcich sezón, dokumentujú skutočnosť, že zmeny (variácie) jeho koncentrácií sú jednak pravidelné (sezónne), ale aj náhodné (miestne, časové, ...). Postupne získavané a zhromažďované poznatky o variabilite obsahov radónu v horninovom prostredí a podzemných vodách, ich vyhodnotenie, spracovanie, sprístupnenie výsledkov monitoringu prostredníctvom služieb internetu, sú jednoznačne prínosom pre možnosť objektívnejšieho hodnotenia radónového rizika z geologického prostredia.

Hodnovernejšie výsledky je možné získať zhodnotením dlhodobo realizovaných moni-

torovacích systémov, výstupy ktorých môžu dávať relevantné podklady pre prijímanie obecných záverov v danej oblasti. Tento zámer sleduje aj realizácia predmetného projektu.

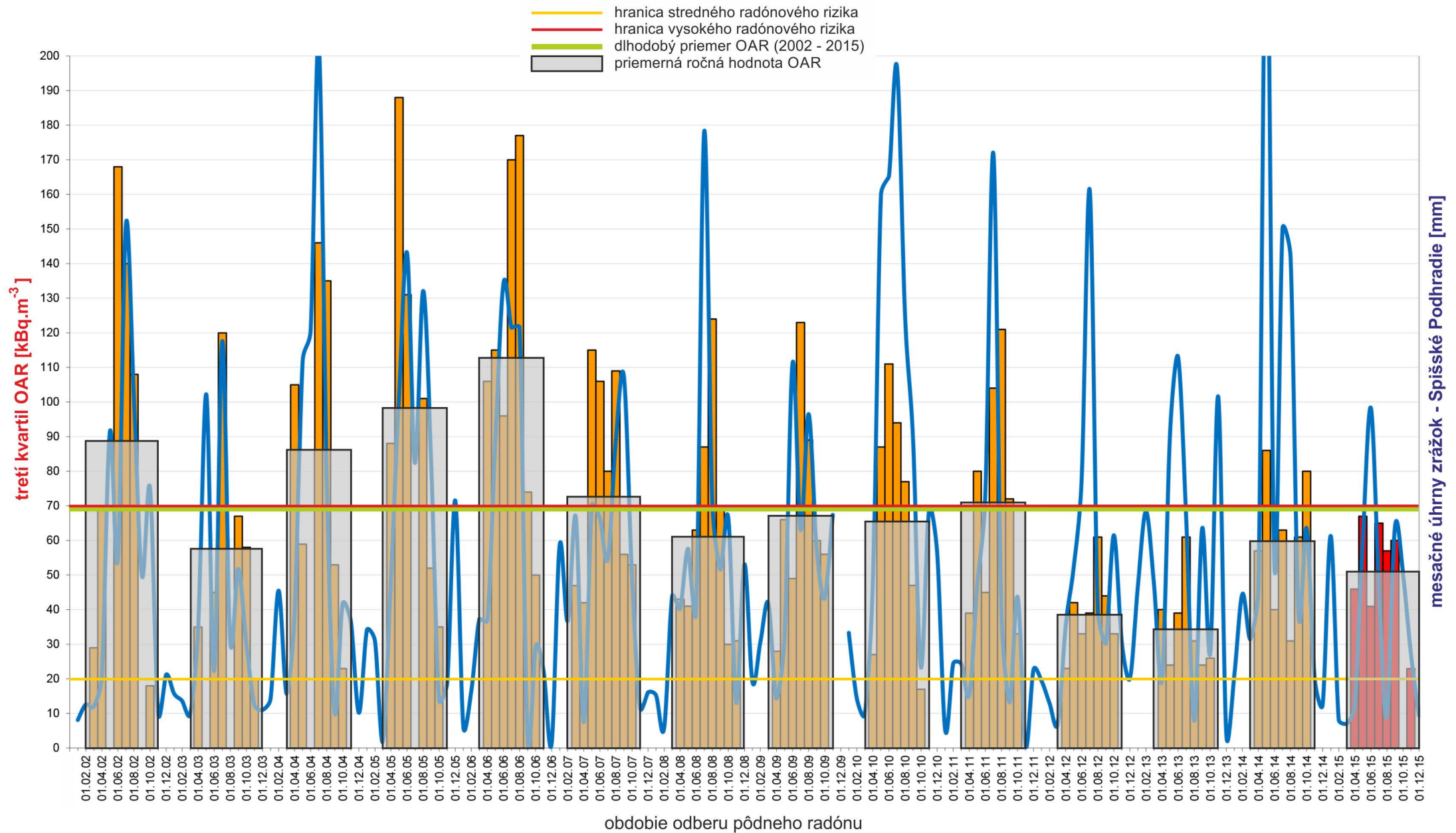
5. LITERATÚRA

- Barnet, I., Kulajta, V., Neznal, M., Matolín, M., Prokop, P., 1992: Hodnocení základových pŕd z hlediska vnikání radonu do bytŕ, Geologický prŕzkum 4, str.114-115, archív ŠGÚDŠ
- Cabánková, H., Nikodemová, D., 2013: Usmerňovanie ožiarenie obyvateľstva radónom v pobytových priestoroch, Slovenská zdravotnícka univerzita v Bratislave, fakulta verejného zdravotníctva, archív ŠGÚDŠ
- Čížek, P., Gluch, A., Smolárová, H., 2001: Atlas geofyzikálnych máp a profilov; textová príloha D 3 – prírodná rádioaktivita, Geofond Bratislava
- Smolárová, H., 2001: Monitoring objemovej aktivity radónu v geologickom prostredí na území SR, záverečná správa za obdobie 1993 – 2000, archív ŠGÚDŠ
- Smolárová, H., 2002: Monitorovanie radónu v geologickom prostredí. In: Geologické práce, správy 106, ŠGÚDŠ Bratislava, str. 139-145, archív ŠGÚDŠ
- Klukanová, A., Iglárová, Ľ., Wagner, P., Hrašna, M., Cipciar, A., Frankovská, J., Mikita, S., Bajtoš, P., Smolárová, H., Gluch, A., Vlčko, J., Bodiš, D., Ondrášik, M., Ondrejka, P., Liščák, P., Pauditš, P., Petro, Ľ., Dananaj, I., Hagara, R., Moczo, P., Labák, P., Kristeková, M., Ferienc, D., Vanko, J., Kováčiková, M., Záhorová, Ľ., Matys, M., Gajdoš, V., Masarovičová, M., Slávik, I., Vybíral, V., Rapant, S., Greif, V., Brček, M., Kordík, J., Slaninka, I., 2011: Čiastkový monitorovací systém – geologické faktory, správa za obdobie 2002 – 2009, čiastková záverečná správa. MŽP SR, ŠGÚDŠ, Bratislava
- Vyhláška Ministerstva zdravotníctva SR č. 528/2007 o podrobnostiach a požiadavkách na obmedzenie ožiarenia z prírodného žiarenia, archív ŠGÚDŠ
- Zákon NR SR č. 355/2007 Z.z. o ochrane, podpore a rozvoji verejného zdravia a o zmene a doplnení niektorých zákonov, archív ŠGÚDŠ

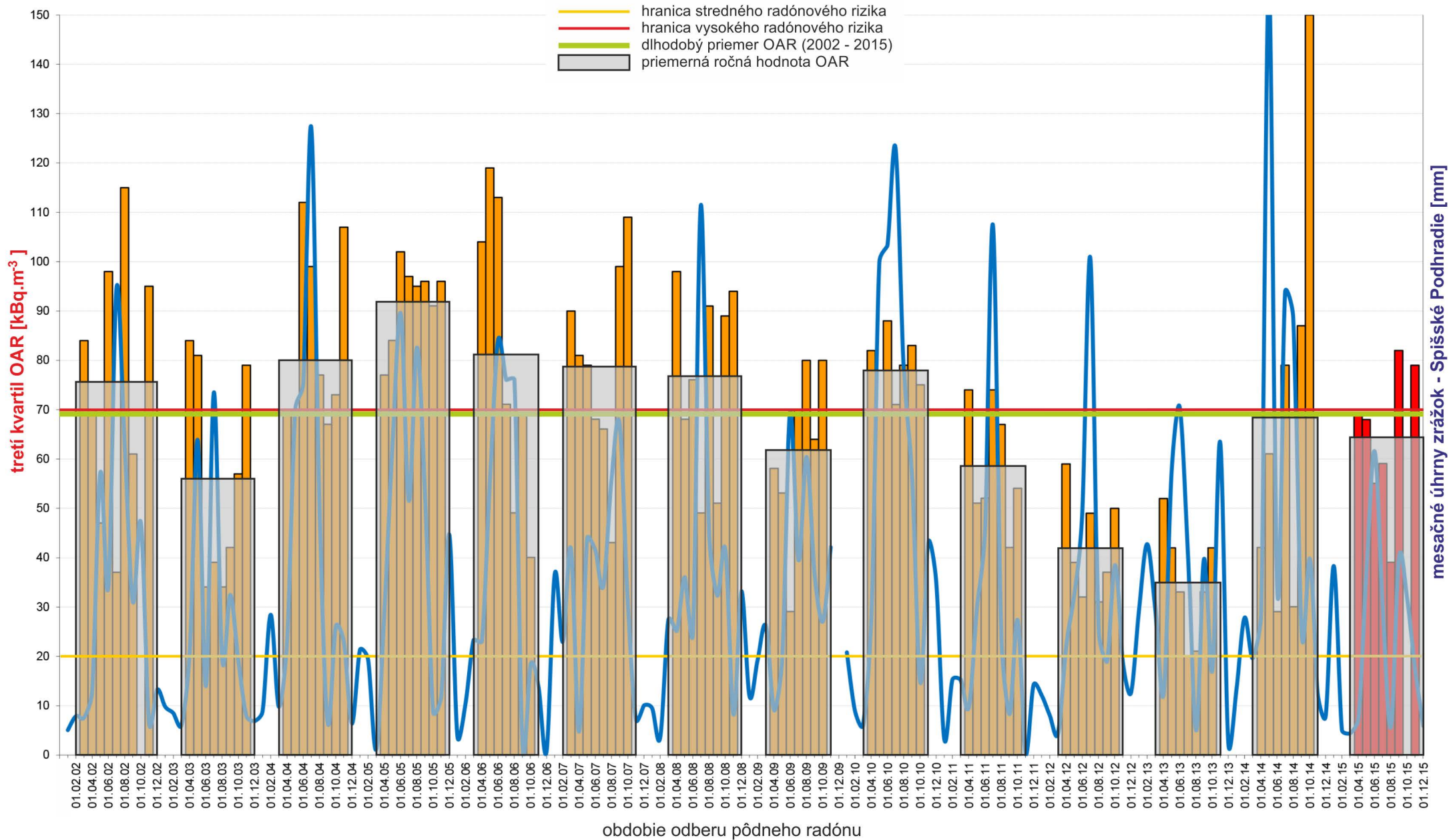
O B R Á Z K Y



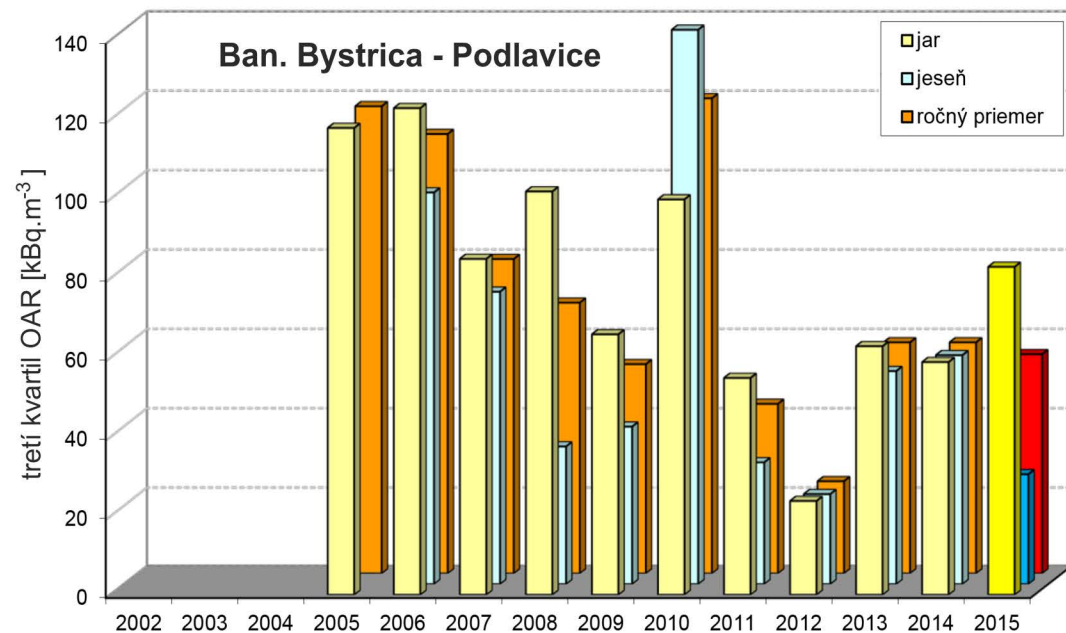
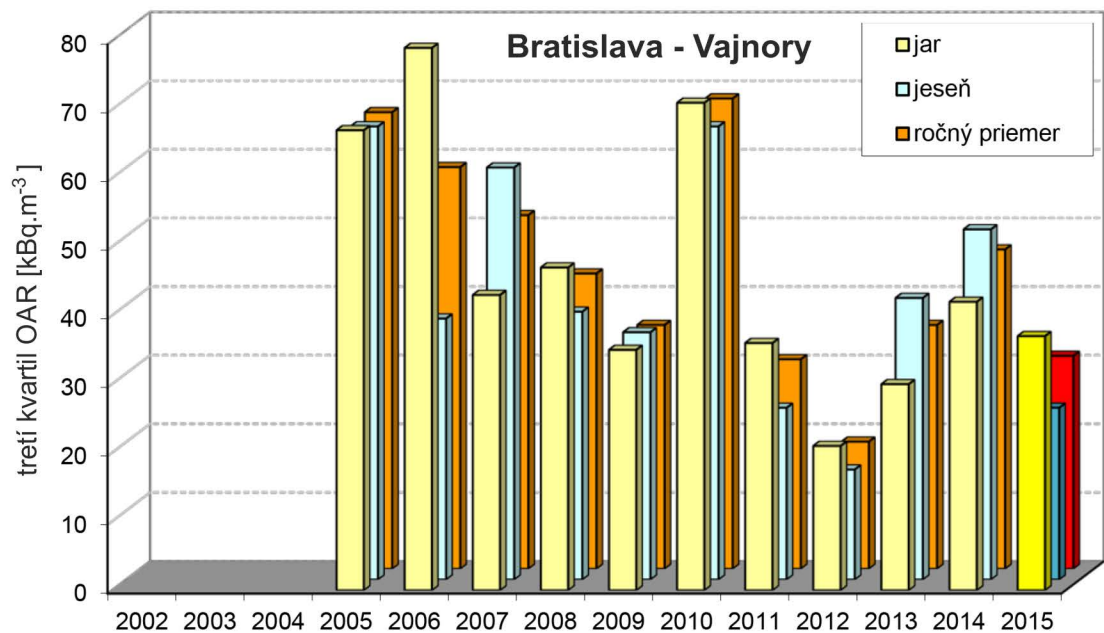
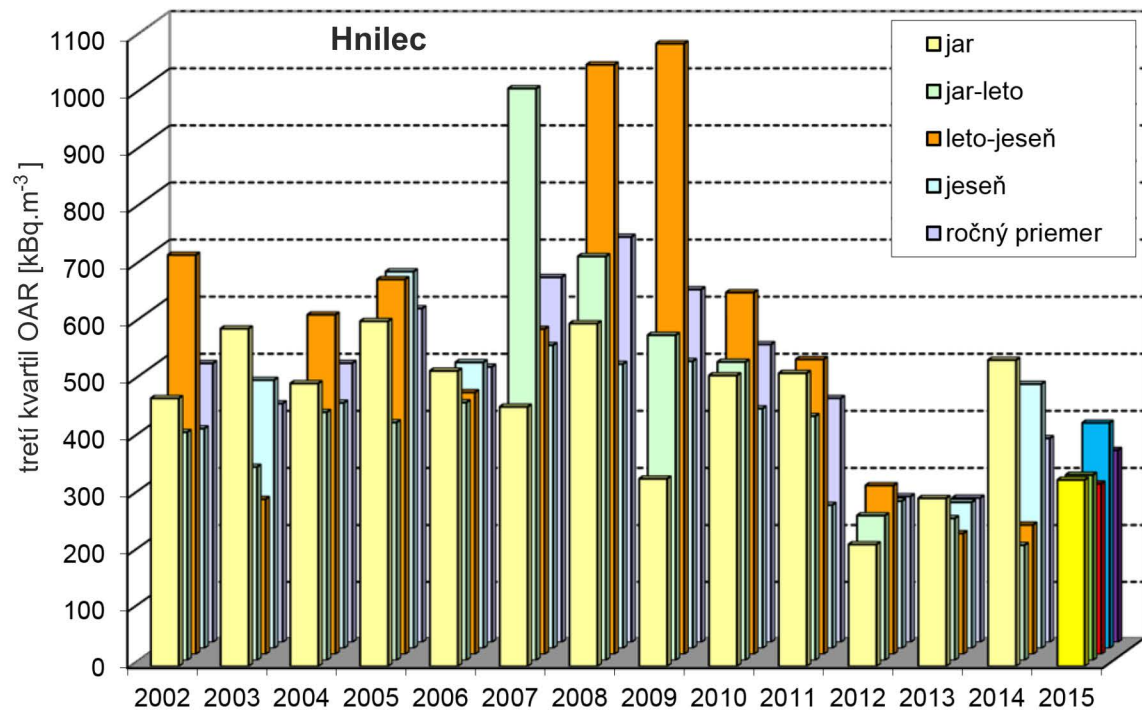
Obr. č. 1 Situačná schéma objektov monitorovaných v roku 2015



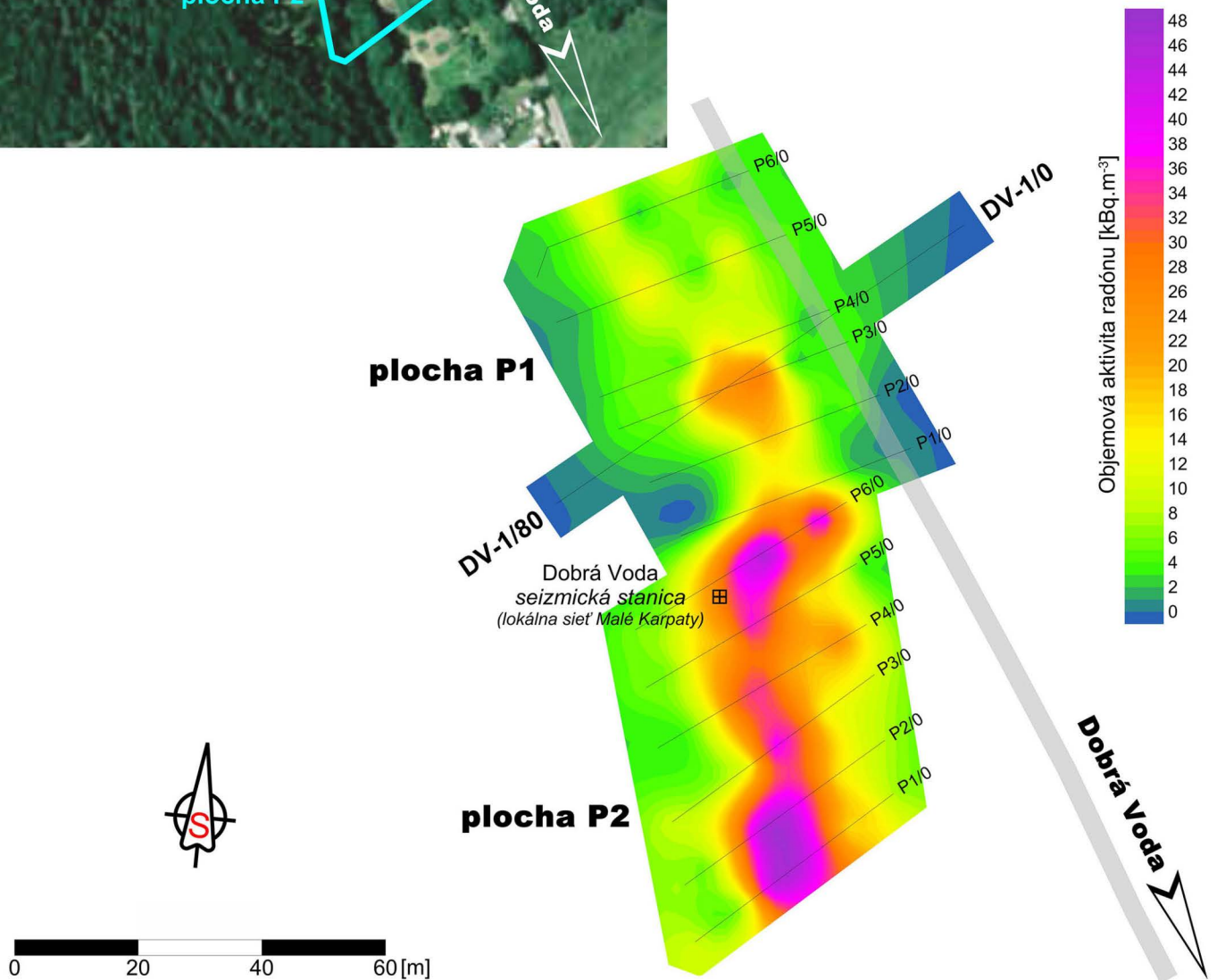
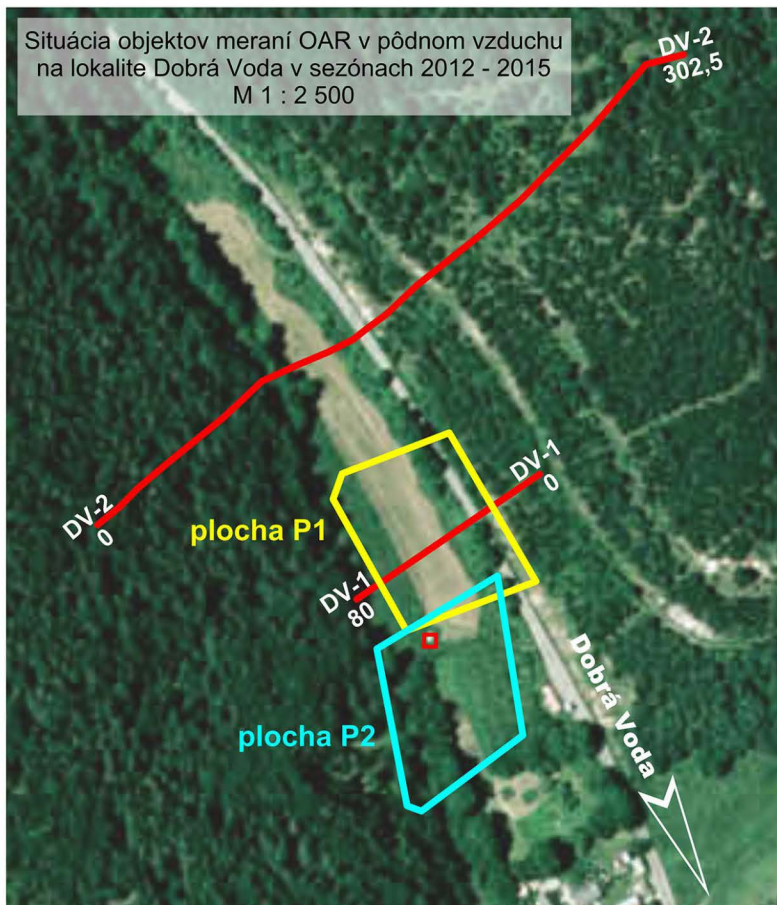
Obr. č. 2 Pôdny radón: monitorovanie objemovej aktivity radónu (OAR) v rokoch 2002 - 2015
 Lokalita: Novoveská Huta



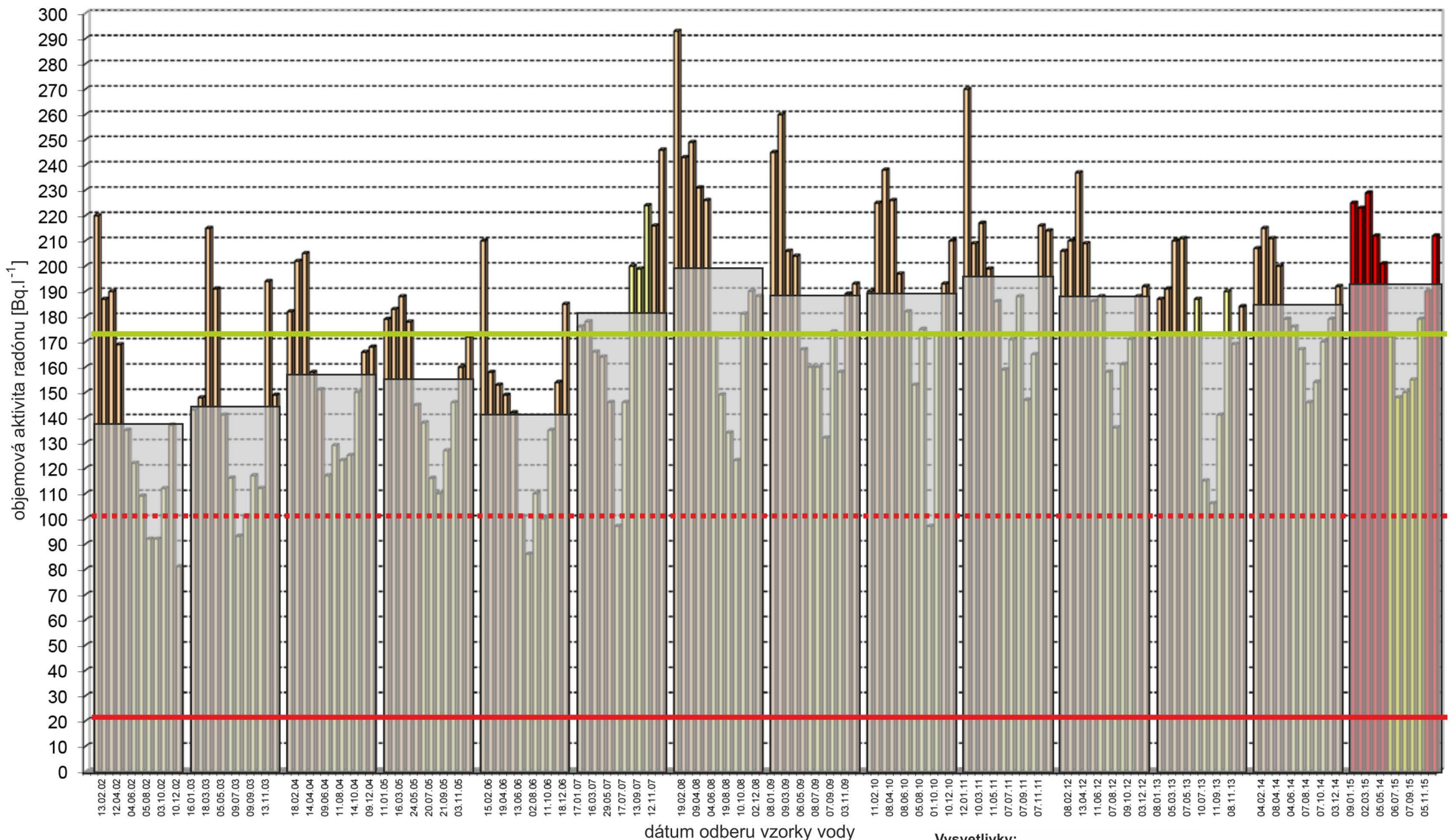
Obr. č. 3 Pôdny radón: monitorovanie objemovej aktivity radónu (OAR) v rokoch 2002 - 2015
Lokalita: Teplička



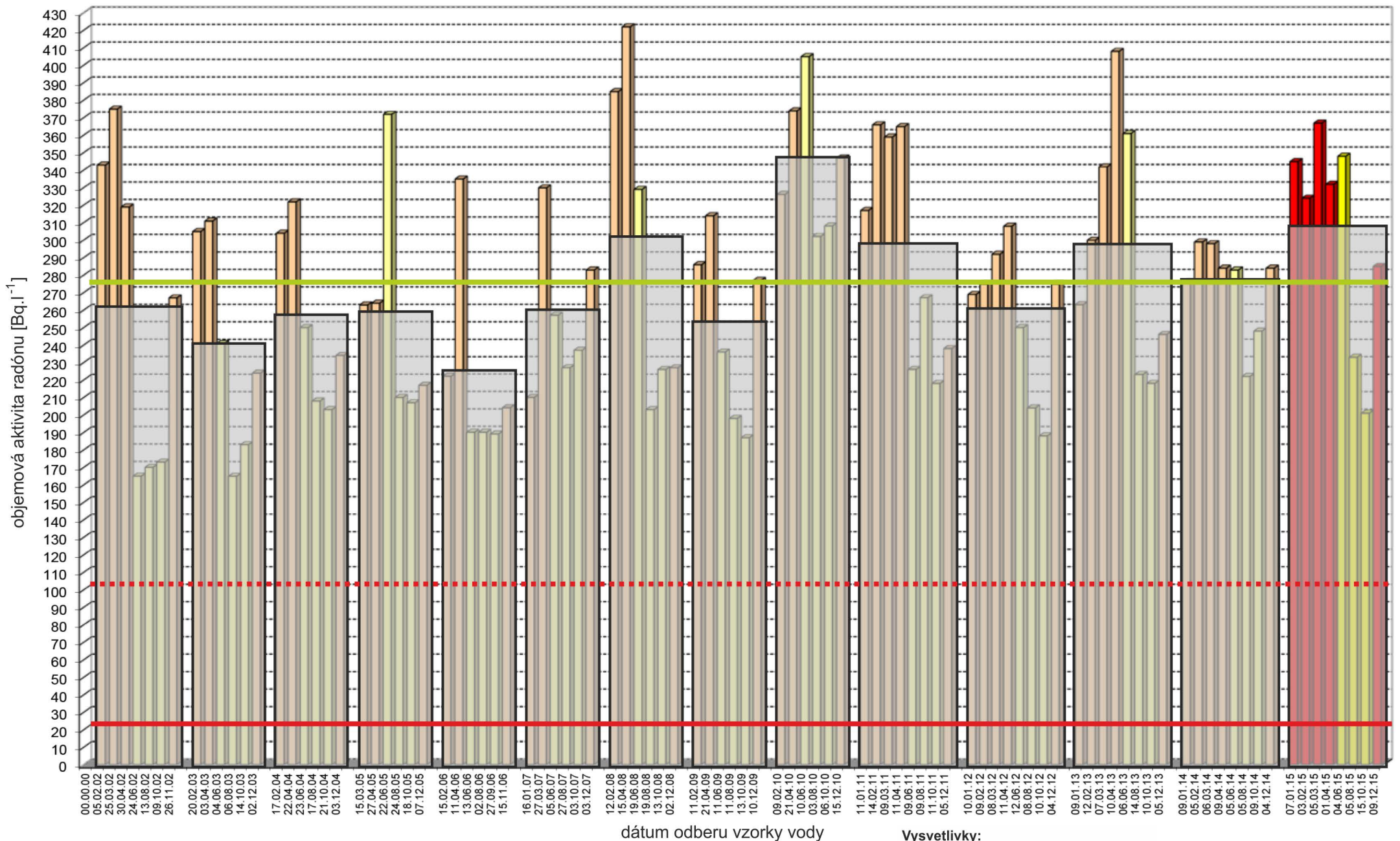
Obr. č. 4 Pôdny radón: monitorovanie objemovej aktivity radónu (OAR) v rokoch 2002 - 2015
 Lokality: Hnilec, Bratislava - Vajnory, Banská Bystrica - Podlavice



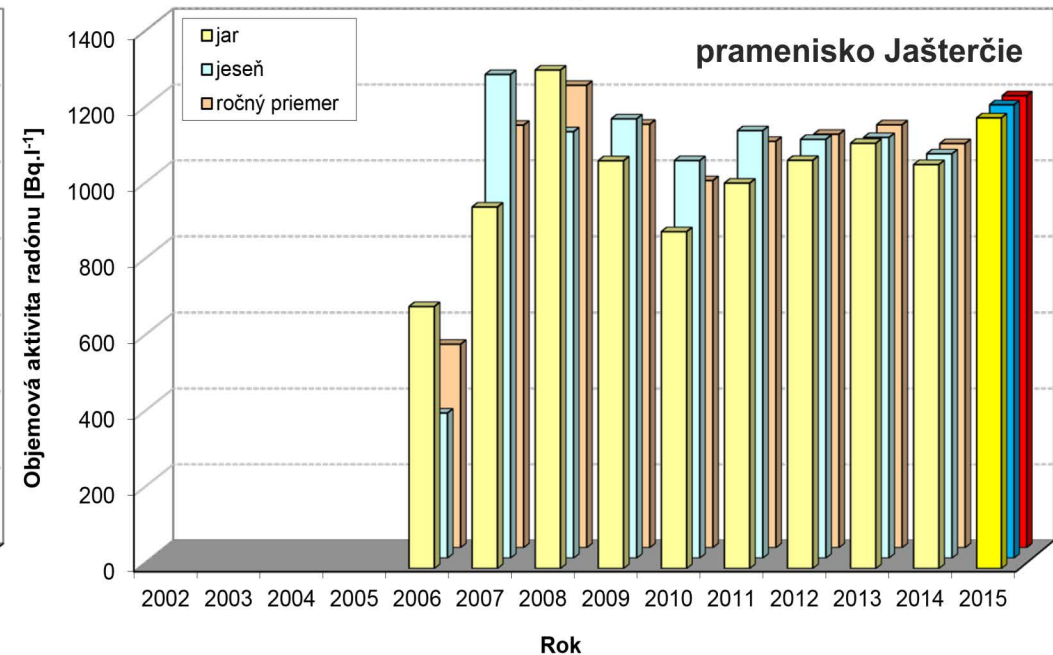
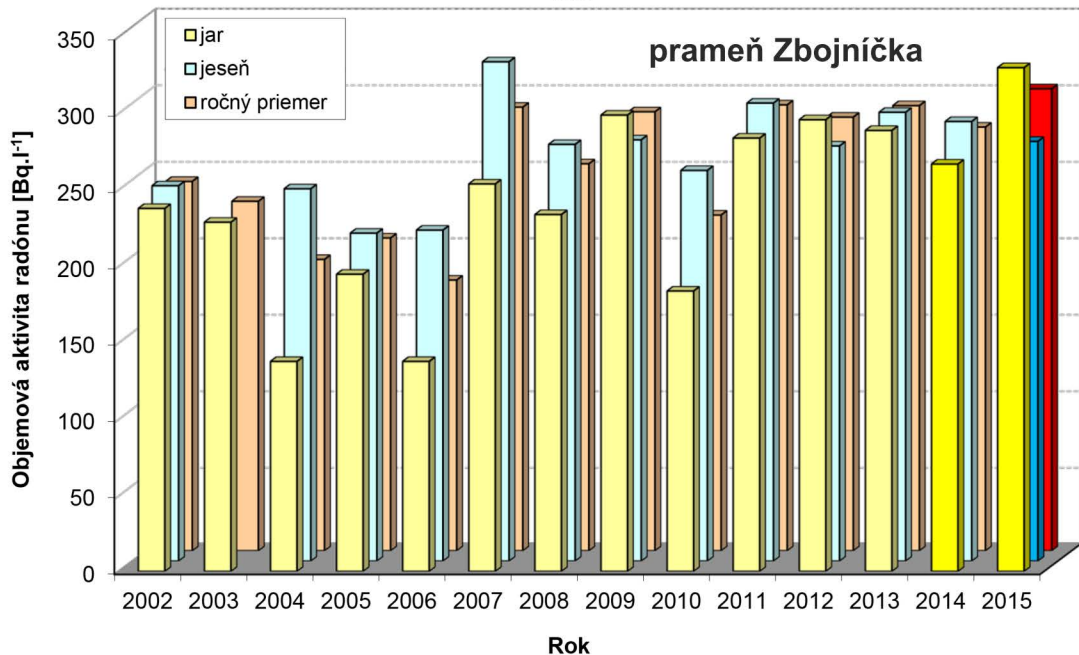
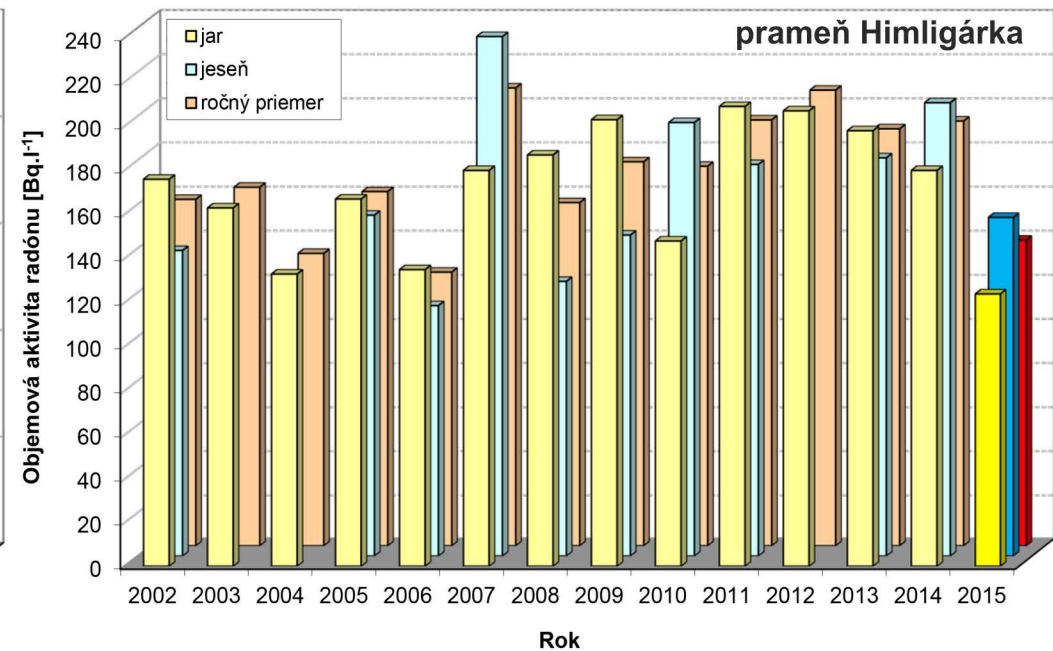
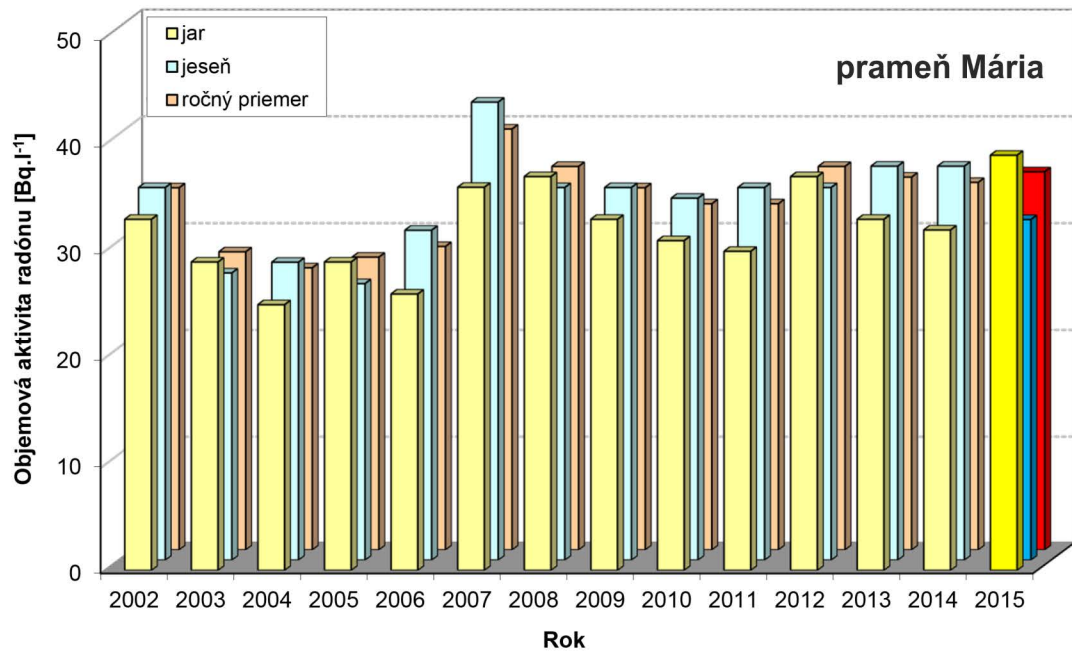
Obr. č. 5 Pôdny radón nad zlomom: monitorovanie objemovej aktivity radónu (OAR) v rokoch 2014 - 2015
Lokalita: Dobrá Voda, plochy: P-1 a P-2



Obr. č. 6 Radón vo vodách: monitorovanie objemovej aktivity radónu (OAR) v rokoch 2002 - 2015
Lokalita: Spišské Podhradie, prameň sv. Ondreja



Obr. č. 7 Radón vo vodách: monitorovanie objemovej aktivity radónu (OAR) v rokoch 2002 - 2015
Lokalita: Bacúch, prameň Boženy Němcovej



Obr. č. 8 Radón vo vodách: monitorovanie objemovej aktivity radónu (OAR) v rokoch 2002 - 2015
 Lokality: Bratislava - pramene Mária, Himligárka, Zbojnička; Oravice - pramenisko Jašterčie

T A B U L K Y

Tab. č.: 1 Stanovenie kategórie radónového rizika referenčnej plochy

KATEGÓRIA RADÓNOVÉHO RIZIKA	3. kvartil - OBJEMOVÁ AKTIVITA RADÓNU [kBq.m⁻³]		
	<i>Plynopriepustnosť zeminy</i>		
	<i>malá</i>	<i>stredná</i>	<i>dobrá</i>
nízke – I	< 30	< 20	< 10
stredné – II	30 – 100	20 – 70	10 – 30
vysoké – III	> 100	> 70	> 30

Tab. č.: 2 Stanovenie plynopriepustnosti pôd

Priepustnosť	Podiel jemných častíc	Trieda podľa STN 73 1001
malá	f > 65 %	F5, F6, F7, F8
stredná	15 % < f < 65 %	F1, F2, F3, F4, S4, S5, G4, G5
dobrá	f < 15 %	S1, S2, S3, G1, G2, G3

Tab. č. 3 Štatistické spracovanie meraní objemovej aktivity radónu v pôdnom vzduchu na referenčných plochách

Radón v pôdnom vzduchu - monitoring 2015, porovnanie 2002 - 2015													
p.č.	Lokalita	Dátum	c _A - objemová aktivita radónu v pôdnom vzduchu [kBq.m ⁻³]								Atm. tlak [hPa]	Poznámka	
			N	min c _A	max c _A	φ c _A	σ c _A	φ + σ	3. kvartil c _A	Rn riziko			
1	Hnilec	28.04.15	17	56	878	296	176	472	329	III	1013	pomerne sucho	
2		24.06.15	17	20	428	227	135	362	327	III	1016	vlhko	
3		19.08.15	17	44	498	206	144	350	301	III	1015	pomerne sucho	
4		03.11.15	17	41	619	289	185	474	377	III	1028	pomerne sucho	
		rok 2015	68	20	878	255	160	415	334	III			
		rok 2014	68	47	969	296	217	513	359	III			
		rok 2013	68	12	734	202	159	361	255	III			
		rok 2012	68	3	712	209	147	355	258	III			
		rok 2011	68	36	1375	384	272	656	430	III			
		rok 2010	67	29	1496	452	312	765	524	III			
		rok 2009	68	32	1735	476	381	857	620	III			
		rok 2008	68	13	1685	550	356	906	712	III			
		rok 2007	68	123	1742	568	331	899	642	III			
		rok 2006	68	150	1262	433	249	682	485	III			
		rok 2005	68	115	1861	509	286	795	587	III			
	rok 2004	68	227	1300	454	211	665	491	III				
	rok 2003	68	87	968	333	156	489	420	III				
	rok 2002	67	84	1157	415	210	625	491	III				
1	Novoveská Huta	28.04.15	17	10	167	41	40	81	46	II	1013	pomerne sucho	
2		20.05.15	17	3	187	55	52	107	67	II-III	1010	pomerne sucho	
3		24.06.15	17	12	131	42	35	77	41	II	1016	pomerne sucho	
4		28.07.15	17	8	192	45	47	92	65	II-III	1009	vlhko	
5		19.08.15	17	6	370	60	86	146	57	II	1015	pomerne sucho	
6		30.09.15	17	12	102	48	24	72	60	II	1030	vlhko	
7		03.11.15	17	3	165	28	37	65	23	I-II	1028	pomerne sucho, -4.0 °C	
		rok 2015	119	3	370	46	46	91	51	II			
		rok 2014	119	5	173	45	35	80	60	II			
		rok 2013	119	4	181	26	20	47	35	II			
		rok 2012	119	5	240	32	26	58	39	II			
		rok 2011	119	7	396	56	55	111	71	III			
		rok 2010	119	4	387	56	55	111	66	II-III			
		rok 2009	119	4	486	55	60	115	67	II-III			
		rok 2008	136	8	198	47	33	80	61	II-III			
	rok 2007	153	7	577	66	59	125	73	III				
	rok 2006	119	4	670	93	75	168	113	III				
	rok 2005	102	2	668	85	88	173	99	III				
	rok 2004	102	1	439	69	60	129	87	III				
	rok 2003	102	2	379	48	40	88	58	II				
	rok 2002	102	1	515	73	65	138	89	III				

Tab. č. 3 Štatistické spracovanie meraní objemovej aktivity radónu v pôdnom vzduchu na referenčných plochách

Radón v pôdnom vzduchu - monitoring 2015, porovnanie 2002 - 2015													
p.č.	Lokalita	Dátum	c_A - objemová aktivita radónu v pôdnom vzduchu [$\text{kBq}\cdot\text{m}^{-3}$]									Atm. tlak	Poznámka
			N	min c_A	max c_A	ϕ c_A	σ c_A	$\phi + \sigma$	3. kvartil c_A	Rn riziko	[hPa]		
1	Teplička	28.04.15	17	12	92	53	22	75	69	II-III	1013	pomerne sucho	
2		20.05.15	17	11	81	52	19	71	68	II-III	1010	pomerne sucho	
3		24.06.15	17	19	88	44	17	61	55	II	1016	pomerne sucho	
4		28.07.15	17	15	76	41	21	62	59	II	1009	vlhko	
5		19.08.15	17	5	69	30	18	48	39	II	1015	pomerne sucho	
6		30.09.15	17	22	96	64	25	89	82	III	1030	mokro	
7		03.11.15	17	15	101	60	27	87	79	III	1028	pomerne sucho, -3.0 °C	
		rok 2015	119	5	101	49	21	70	64	II-III			
		rok 2014	119	1	188	47	30	77	68	II-III			
		rok 2013	119	2	70	27	12	39	35	II			
		rok 2012	119	3	93	32	16	48	42	II			
		rok 2011	119	4	110	44	22	66	59	II			
		rok 2010	119	4	150	59	29	88	78	III			
		rok 2009	119	4	127	49	27	77	62	II-III			
		rok 2008	136	3	118	57	27	84	77	III			
		rok 2007	136	3	137	57	28	85	79	III			
		rok 2006	119	3	157	61	26	87	81	III			
		rok 2005	136	2	196	70	33	103	92	III			
		rok 2004	136	6	120	62	23	85	80	III			
	rok 2003	135	5	144	50	19	69	56	II				
	rok 2002	136	3	143	60	23	83	76	III				
1	Bratislava - Vajnory	25.05.15	17	15	44	28	10	38	37	II	1011	mokro	
2		16.09.15	17	8	39	18	8	26	25	I-II	1011	pomerne sucho	
		rok 2015	34	8	44	23	9	32	31	II			
		rok 2014	34	8	61	37	14	51	47	II			
		rok 2013	34	2	75	29	14	43	36	II			
		rok 2012	34	4	56	17	8	25	19	I-II			
		rok 2011	34	6	49	25	10	35	31	II			
		rok 2010	34	4	100	50	27	76	69	II-III			
		rok 2009	34	13	52	28	11	39	36	II			
		rok 2008	34	2	61	34	13	47	43	II			
		rok 2007	34	4	64	41	13	54	52	II			
		rok 2006	34	10	98	41	20	61	59	II			
		rok 2005	34	20	122	50	22	72	67	II-III			
		rok 2004	objekt nebol monitorovaný										
	rok 2003												
	rok 2002												
	rok 2002												

Tab. č. 3 Štatistické spracovanie meraní objemovej aktivity radónu v pôdnom vzduchu na referenčných plochách

Radón v pôdnom vzduchu - monitoring 2015, porovnanie 2002 - 2015												
p.č.	Lokalita	Dátum	c_A - objemová aktivita radónu v pôdnom vzduchu [$\text{kBq}\cdot\text{m}^{-3}$]								Atm. tlak	Poznámka
			N	min c_A	max c_A	ϕc_A	σc_A	$\phi + \sigma$	3. kvartil c_A	Rn riziko	[hPa]	
1	Banská Bystrica - Podlavice	25.05.15	17	14	248	75	59	134	83	II	1011	mokro
2		16.09.15	17	14	115	33	28	61	28	II	1011	mokro
		rok 2015	34	14	248	54	44	98	56	II		
		rok 2014	34	1	167	49	45	93	59	II		
		rok 2013	34	9	121	44	27	71	59	II		
		rok 2012	34	4	79	19	18	37	24	II		
		rok 2011	34	5	129	33	26	58	43	II		
		rok 2010	34	13	265	102	61	163	120	III		
		rok 2009	34	6	157	38	33	71	53	II		
		rok 2008	34	0	154	50	28	78	69	II-III		
		rok 2007	34	13	219	64	38	102	80	III		
		rok 2006	34	18	272	90	53	143	111	III		
		rok 2005	18	30	193	98	44	142	118	III		
		rok 2004	objekt nebol monitorovaný									
		rok 2003	objekt nebol monitorovaný									
	rok 2002	objekt nebol monitorovaný										

Vysvetlivky:

c_A objemová aktivita radónu (OAR) v pôdnom vzduchu [$\text{kBq}\cdot\text{m}^{-3}$]

N počet meraných sond na referenčnej ploche (RP)

min c_A minimálna hodnota OAR z N

max c_A maximálna hodnota OAR z N

ϕc_A stredná hodnota OAR z N meraných hodnôt c_A

σc_A štandardná odchýlka OAR z N meraných hodnôt c_A

3. kvartil c_A tretí kvartil z N hodnôt c_A

Rn riziko I – nízke, II – stredné, III – vysoké

Teplota vo vzduchu, pri zemi, v pôde [$^{\circ}\text{C}$]

Atm. tlak [hPa]

tab. č. 4 Objemová aktivita radónu v podzemných vodách

Radón v podzemných vodách - monitoring 2015, porovnanie 2002 - 2015											
p.č.	Lokalita	Dátum	²²² Rn	Q	t-voda	t-vzduch	Rn _{min}	Rn _{max}	φ Rn	v Rn	
		Rok	[Bq.l ⁻¹]	[l.s ⁻¹]	[°C]	[°C]	[Bq.l ⁻¹]	[Bq.l ⁻¹]	[Bq.l ⁻¹]	[%]	
1	Bratislava - prameň Mária	26.05.15	39	0.235	8	12					
2		17.09.15	32	0.033	11	18					
		2015						32	39	36	14
		2014						32	37	35	10
		2013						33	37	35	8
		2012						35	37	36	4
		2011						30	35	33	11
		2010						31	34	33	7
		2009						33	35	34	4
		2008						35	37	36	4
		2007						36	43	40	12
		2006						26	31	29	9
		2005						26	30	28	7
		2004						25	28	27	6
		2003						27	29	28	5
		2002						33	35	34	4
1	Bratislava - prameň Zbojníčka	26.05.15	330	0.279	8	12					
2		17.09.15	275	0.044	10	19					
		2015						275	330	303	13
		2014						267	288	278	5
		2013						289	294	292	1
		2012						272	296	284	6
		2011						287	300	294	3
		2010						184	256	220	23
		2009						276	299	288	6
		2008						234	273	254	11
		2007						254	327	291	18
		2006						138	217	178	22
		2005						195	215	205	5
		2004						138	244	191	28
		2003						229	230	230	0.3
		2002						238	246	242	2

tab. č. 4 Objemová aktivita radónu v podzemných vodách

Radón v podzemných vodách - monitoring 2015, porovnanie 2002 - 2015										
p.č.	Lokalita	Dátum	²²² Rn	Q	t-voda	t-vzduch	Rn _{min}	Rn _{max}	φ Rn	v Rn
		Rok	[Bq.l ⁻¹]	[l.s ⁻¹]	[°C]	[°C]	[Bq.l ⁻¹]	[Bq.l ⁻¹]	[Bq.l ⁻¹]	[%]
1	Bratislava - prameň Himligárka	26.05.15	124	0.279	8	12				
2		17.09.15	154	0.014	11	18				
		2015					124	154	139	15
		2014					180	206	193	10
		2013					181	198	190	6
		2012							207	
		2011					178	209	194	11
		2010					148	197	173	20
		2009					146	203	175	23
		2008					125	187	156	28
		2007					180	236	208	19
		2006					114	135	125	8
		2005					155	167	161	4
		2004					133	133	133	-
		2003					163	-	-	-
		2002					139	176	158	16.6

tab. č. 4 Objemová aktivita radónu v podzemných vodách

Radón v podzemných vodách - monitoring 2015, porovnanie 2002 - 2015											
p.č.	Lokalita	Dátum	²²² Rn	Q	t-voda	t-vzduch	Rn _{min}	Rn _{max}	φ Rn	v Rn	
		Rok	[Bq.l ⁻¹]	[l.s ⁻¹]	[°C]	[°C]	[Bq.l ⁻¹]	[Bq.l ⁻¹]	[Bq.l ⁻¹]	[%]	
1	Bacúch - prameň Boženy Němcovej	07.01.15	351	0.020	6	-12					
2		03.02.15	324	0.019	6	-11					
3		05.03.15	367	0.021	6	2					
4		01.04.15	332	0.021	6	1					
5		04.06.15	348	0.024							
6		05.08.15	233	0.020	10	21					
7		15.10.15	201	0.018	10	11					
8		09.12.15	285	0.020	7	3					
		2015						201	367	305	20
		2014						222	299	274	10
		2013						218	408	295	24
		2012						188	308	258	16
		2011						218	366	295	22
		2010						302	405	344	12
		2009						187	314	250	20
		2008						203	422	299	31
	2007						210	330	257	17	
	2006						189	335	222	23	
	2005						207	372	256	22	
	2004						203	322	254	18	
	2003						165	311	238	26	
	2002						165	375	259	35	

tab. č. 4 Objemová aktivita radónu v podzemných vodách

Radón v podzemných vodách - monitoring 2015, porovnanie 2002 - 2015										
p.č.	Lokalita	Dátum	²²² Rn	Q	t-voda	t-vzduch	Rn _{min}	Rn _{max}	φ Rn	v Rn
		Rok	[Bq.l ⁻¹]	[l.s ⁻¹]	[°C]	[°C]	[Bq.l ⁻¹]	[Bq.l ⁻¹]	[Bq.l ⁻¹]	[%]
1		09.01.15	225	0.038	6	-3				
2		04.02.15	223	0.038	6	-7				
3		02.03.15	229	0.041	6	2				
4		02.04.15	212	0.040	6	-4				
5		05.05.15	201	0.042	9	14				
6		08.06.15	172	0.042	11	19				
7		06.07.15	148	0.033	12	18				
8		07.08.15	150	0.040	14	21				
9		07.09.15	155	0.042	14	10				
10		05.10.15	179	0.042	12	11				
11		05.11.15	190	0.039	10	1				
12		08.12.15	212	0.044	10	1				
	Spišské Podhradie - prameň sv. Ondreja	2015					148	229	191	16
		2014					146	215	183	12
		2013					106	211	172	20
		2012					136	237	187	15
		2011					147	270	195	17
		2010					97	238	188	20
		2009					132	260	187	20
		2008					123	293	198	26
		2007					97	246	180	22
		2006					86	210	140	25
		2005					110	188	154	17
		2004					117	205	156	18
		2003					93	215	143	27
	2002					81	220	137	33	

tab. č. 4 Objemová aktivita radónu v podzemných vodách

Radón v podzemných vodách - monitoring 2015, porovnanie 2002 - 2015											
p.č.	Lokalita	Dátum	²²² Rn	Q	t-voda	t-vzduch	Rn _{min}	Rn _{max}	φ Rn	v Rn	
		Rok	[Bq.l ⁻¹]	[l.s ⁻¹]	[°C]	[°C]	[Bq.l ⁻¹]	[Bq.l ⁻¹]	[Bq.l ⁻¹]	[%]	
1	Oravice: pramenisko Jašterčie - pri vrte OZ- 1	16.04.15	1186	nemerateľná	18	6					
2		15.10.15	1193	nemerateľná	18	14					
		2015					1186	1193	1190	0	
		2014					1063	1064	1064	0	
		2013					1107	1119	1113	1	
		2012					1074	1102	1088	2	
		2011					1014	1125	1070	7	
		2010					886	1046	966	12	
		2009					1073	1156	1115	5	
		2008					1122	1312	1217	11	
		2007					951	1273	1112	20	
		2006					382	690	536	29	
		2005	objekt nebol monitorovaný								
		2004									
		2003									
	2002										

- Kde:
- ²²²Rn objemová aktivita radónu (OAR) vo vode c_A [Bq.l⁻¹]
 - Q výdatnosť vodného zdroja [l.s⁻¹]
 - t-voda teplota vody [°C]
 - t-vzduch teplota vzduchu [°C]
 - Rn_{min} minimálna hodnota OAR za hodnotené obdobie [Bq.l⁻¹]
 - Rn_{max} maximálna hodnota OAR za hodnotené obdobie [Bq.l⁻¹]
 - φ Rn stredná hodnota OAR za hodnotené obdobie [Bq.l⁻¹]
 - v Rn variačný koeficient OAR za hodnotené obdobie [%]

tab. č. 5 Štatistické spracovanie meraní objemovej aktivity radónu v podzemných vodách za obdobie 2002 - 2015

p.č.	Lokalita	Obdobie	²²² Rn [Bq.l ⁻¹]			Výdatnosť Q [l.s ⁻¹]		
			φ Rn	σ Rn	v Rn [%]	φ Q	σ Q	v Q [%]
1	Bratislava - prameň Mária	2015	36	4.9	14	0.134	0.143	107
		2014	35	3.5	10	1.044	1.097	105
		2013	35	2.8	8	0.227	0.100	63
		2012	36	1.4	4	0.171	0.165	97
		2011	33	3.5	11	0.362	0.069	20
		2010	33	2.1	7	0.926	0.178	19
		2009	34	1.4	4	0.127	0.074	59
		2008	36	1.4	4	0.118	0.024	20
		2007	40	4.9	12	0.183	0.019	10
		2006	29	2.5	9	0.613	0.498	81
		2005	28	2.0	7	0.396	0.271	68
		2004	27	1.5	6	0.536	0.465	87
		2003	28	1.4	5	0.128	0.139	109
		2002	34	1.4	4	0.299	0.158	53
2	Bratislava - prameň Zbojníčka	2015	303	38.9	13	0.162	0.166	103
		2014	278	14.8	5	1.026	1.095	107
		2013	292	3.5	1	0.248	0.199	80
		2012	284	17.0	6	0.207	0.233	113
		2011	294	9.2	3	0.303	0.044	14
		2010	220	50.9	23	2.073	1.782	86
		2009	288	16.3	6	0.114	0.092	81
		2008	254	27.6	11	0.243	0.233	96
		2007	291	51.6	18	0.265	0.068	26
		2006	178	39.5	22	1.431	1.425	100
		2005	205	10.0	5.0	0.463	0.338	73
		2004	191	53.0	28	0.577	0.535	93
		2003	230	0.7	0.3	0.096	0.121	127
		2002	242	5.7	2	0.276	0.050	18

tab. č. 5 Štatistické spracovanie meraní objemovej aktivity radónu v podzemných vodách za obdobie 2002 - 2015

p.č.	Lokalita	Obdobie	²²² Rn [Bq.l ⁻¹]			Výdatnosť Q [l.s ⁻¹]		
			φ Rn	σ Rn	v Rn [%]	φ Q	σ Q	v Q [%]
3	Bratislava - prameň Himligárka	2015	139	21.2	15	0.147	0.187	128
		2014	193	18.4	10	0.979	1.246	127
		2013	190	12.0	6	0.171	0.200	117
		2012	207	-	-	0.168	-	-
		2011	194	21.9	11	0.193	0.047	25
		2010	173	34.6	20	1.203	0.870	72
		2009	175	40.3	23	0.056	0.056	101
		2008	156	43.8	28	0.130	0.146	113
		2007	208	39.6	19	0.093	0.031	33
		2006	125	10.5	8	0.719	0.709	100
		2005	161	6.0	4	0.259	0.229	88
		2004	133	-	-	0.263	0.263	100
		2003	163	-	-	0.091	0.128	141
		2002	158	26.2	17	0.311	0.001	0.2
4	Bacúch - prameň Boženy Němcovej	2015	305	60.1	20	0.020	0.002	9
		2014	274	26.4	10	0.022	0.003	13
		2013	295	69.6	24	0.022	0.002	7
		2012	258	41.8	16	0.022	0.003	12
		2011	295	64.6	22	0.027	0.003	11
		2010	344	40.0	12	0.027	0.003	11
		2009	250	51.0	20	0.024	0.002	8
		2008	299	92.9	31	0.021	0.002	9
		2007	257	43.6	17	0.024	0.003	13
		2006	222	52.0	23	0.027	0.003	9
		2005	256	57.0	22	0.026	0.004	17
		2004	254	45.2	18	0.020	0.002	10
		2003	238	60.6	25	0.021	0.002	9
		2002	259	89.7	35	0.026	0.004	16

tab. č. 5 Štatistické spracovanie meraní objemovej aktivity radónu v podzemných vodách za obdobie 2002 - 2015

p.č.	Lokalita	Obdobie	^{222}Rn [Bq.l^{-1}]			Výdatnosť Q [l.s^{-1}]		
			ϕ Rn	σ Rn	v Rn [%]	ϕ Q	σ Q	v Q [%]
5	Spišské Podhradie - prameň sv. Ondreja	2015	191	30.1	16	0.040	0.003	7
		2014	183	22.5	12	0.037	0.003	9
		2013	172	34.1	20	0.037	0.007	18
		2012	187	27.4	15	0.041	0.005	11
		2011	195	33.5	17	0.036	0.006	17
		2010	188	38.0	20	0.038	0.005	13
		2009	187	37.3	20	0.039	0.004	11
		2008	198	51.1	26	0.042	0.005	12
		2007	180	40.4	22	0.040	0.008	20
		2006	140	35.0	25	0.041	0.006	14
		2005	154	26.0	17	0.044	0.006	13
		2004	156	28.6	18	0.039	0.006	14
		2003	143	39.1	27	0.033	0.006	19
		2002	137	44.8	33	0.034	0.010	30
6	Oravice - pramenisko Jašterčie OZ-1	2015	1190	4.9	0.0	nemerateľná		
		2014	1066	4.2	0.4			
		2013	1113	8.5	1			
		2012	1088	19.8	2			
		2011	1070	78.5	7			
		2010	966	113.1	12			
		2009	1115	58.7	5			
		2008	1217	134.4	11			
		2007	1112	227.7	20			
		2006	536	155.4	29			
		2005						
		2004						
		2003						
		2002						

Kde: ^{222}Rn - objemová aktivita radónu (OAR) vo vode c_A [Bq.l^{-1}]
 ϕ Rn - stredná hodnota OAR za hodnotené obdobie [Bq.l^{-1}]
 σ Rn - štandardná odchýlka OAR za hodnotené obdobie [Bq.l^{-1}]
v Rn - variačný koeficient OAR za hodnotené obdobie [%]

Q - výdatnosť vodného zdroja [l.s^{-1}]
 ϕ Q - priemerná výdatnosť Q za hodnotené obdobie [l.s^{-1}]
 σ Q - smerodatná odchýlka Q za hodnotené obdobie [l.s^{-1}]
v Q - variačný koeficient Q za hodnotené obdobie [%]

Tab. č. 6 Vývoj hodnôt objemovej aktivity radónu (OAR) v pôdnom vzduchu a v podzemných vodách za obdobie 2002 – 2015

p.č.	LOKALITA	Rok														Dlhodobý priemer	N	σ	Podiel c_A 2015 / 2014	Trend 2015 / 2014
		2002	2003	2004	2005	2006	2007	2008	2009	2010	2011	2012	2013	2014	2015					
3.Q c_A [kBq.m⁻³]																				
Pôdny radón na referenčných plochách																				
1	Hnilec	491	420	491	587	485	642	712	620	524	430	258	255	359	334	472	950	292	0.93	↘
2	Novoveská Huta	89	58	87	99	113	73	61	67	66	71	39	35	60	51	69	1648	65	0.85	↘
3	Teplička	76	56	80	92	81	79	77	62	78	59	42	35	68	64	68	2255	31	0.94	↘
4	Bratislava - Vajnory				67	59	52	43	36	69	31	19	36	47	31	45	374	20	0.66	↘
5	Banská Bystrica - Podlavice				118	111	80	69	53	120	43	24	59	59	56	72	357	49	0.95	↘
Pôdny radón na tektonike																				
1	Grajnár	18	10	13	24	20	16	20	16							17	1022	17	-	-
2	Grajnár II.											15				15	70	16	-	-
3	Dobrá Voda, profil DV-1											6				6	18	7	-	-
4	Dobrá Voda, profil DV-2												3			3	60	4	-	-
5	Dobrá Voda, plocha P-1													10		10	60	7	-	-
5	Dobrá Voda, plocha P-2														19	19	60	14	-	-
Priemerné úhrny zrážok na Slovensku v [mm] a [%] dlhodobého priemeru		861	573	851	938	776	894	860	890	1255	656	747	864	957	719	[mm]				
		106	75	112	125	101	122	112	122	157	80	98	122	119	98	[%]				

p.č.	LOKALITA	Rok														Dlhodobý priemer	N	σ	Podiel c_A 2015 / 2014	Trend 2015 / 2014
		2002	2003	2004	2005	2006	2007	2008	2009	2010	2011	2012	2013	2014	2015					
c_A [Bq.l⁻¹]																				
Radón vo vodách																				
1	Bratislava - prameň Mária	34	28	27	28	29	40	36	34	33	33	36	35	35	36	33	56	5	1.03	↗
2	Bratislava - prameň Zbojníčka	242	230	191	205	178	291	254	288	220	294	284	292	278	303	254	56	49	1.09	↗
3	Bratislava - prameň Himligárka	158	163	133	161	125	208	156	175	173	194	207	190	193	139	170	50	32	0.72	↘
4	Bacúch - prameň Boženy Němcovej	259	238	254	256	222	257	299	250	344	295	258	295	274	305	272	190	64	1.11	↗
5	Spišské Podhradie - prameň sv. Ondreja	137	143	156	154	140	180	198	187	188	195	187	172	183	191	172	341	41	1.04	↗
6	Oravice - pramenisko Jašterčie					536	1112	1217	1115	966	1070	1088	1113	1064	1190	1047	41	209	1.12	↗
7	Zemplín - vrt Ladmovce					12	17	15	15	15						15	18	2	-	-

Kde:

- 3.Q c_A stredná hodnota tretieho kvartilu OAR v pôdnom vzduchu za hodnotený rok
 - c_A stredná hodnota OAR v podzemnej vode za hodnotený rok
 - N celkový počet meraní OAR na lokalite za obdobie 2002 - 2015
 - σ štandardná odchýlka OAR zo všetkých meraní na lokalite za obdobie 2002 - 2015
- | | |
|----|--|
| | v danom roku nebol objekt monitorovaný |
| *) | monitorovanie na objekte dočasne prerušené |